

Figura 12.1 Riosucio: área urbana



Foto: A. Velásquez, M. Bustamante (1992)

1. Orillas pobladas con procesos de erosión fluvial activa. 2. Depresión pantanosa con vegetación hidrófila. 3. Diques bajos con vegetación hidrófila y bosque permanentemente inundado. La línea punteada señala el ancho máximo del dique inundable durante periodos de aguas altas

Figura 12.2 Panorámica de Riosucio

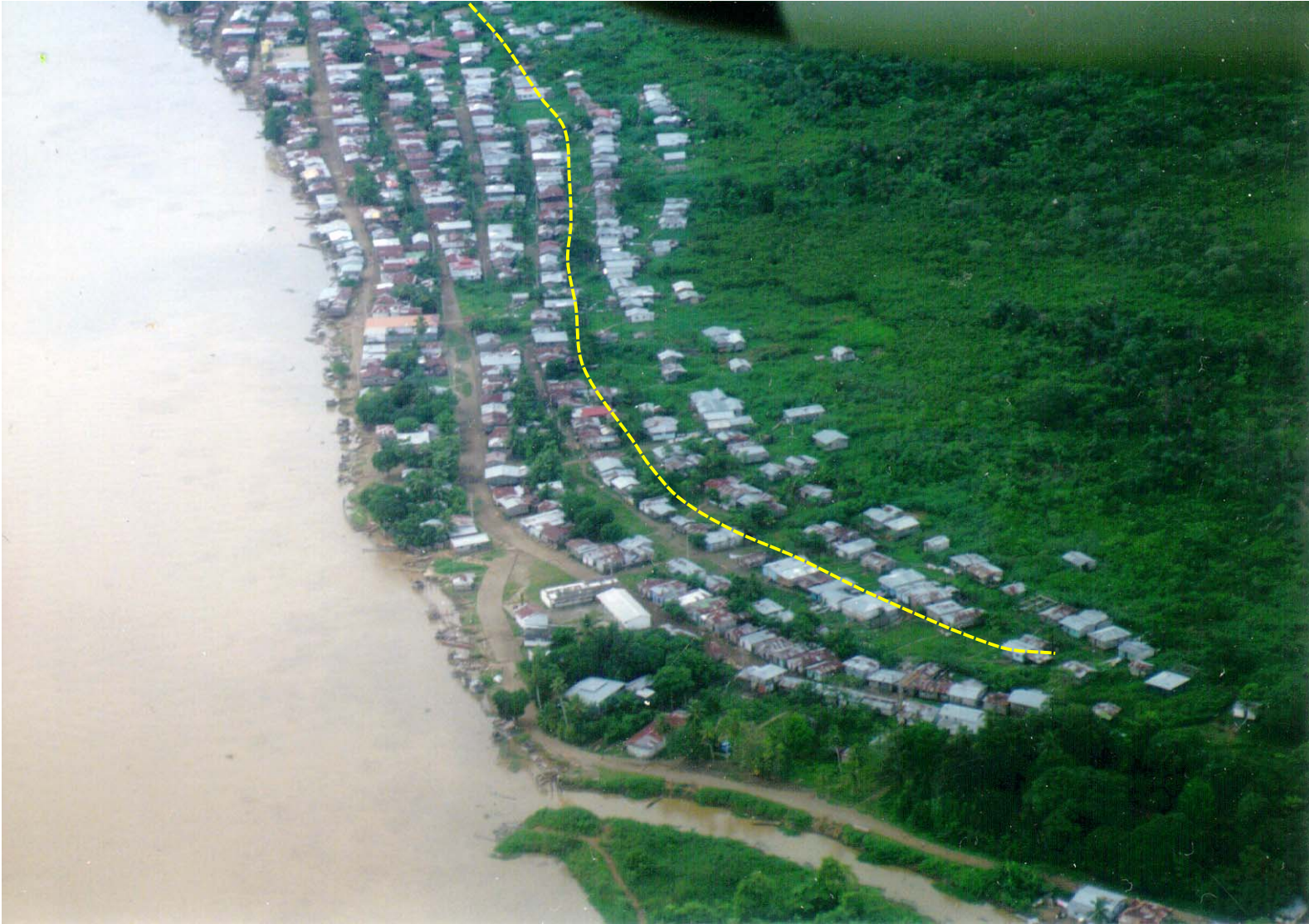


Foto: A. Velásquez, M. Bustamante (1992)

La línea punteada señala el límite entre el dique aluvial de Riosucio y la depresión cenagosa, con viviendas en pilotes.

Figura 12.3 Vista parcial de Riosucio



Foto: A. Velásquez, M. Bustamante (1992)

Viviendas y accesos sobre pilotes en la parte posterior del dique de Riosucio, sobre zona de depresión permanentemente inundada con vegetación hidrófila. Viviendas colapsadas en Riosucio (octubre, 1992)

Figura 12.4 Detalle de usos del suelo y efectos de sismos, Riosucio

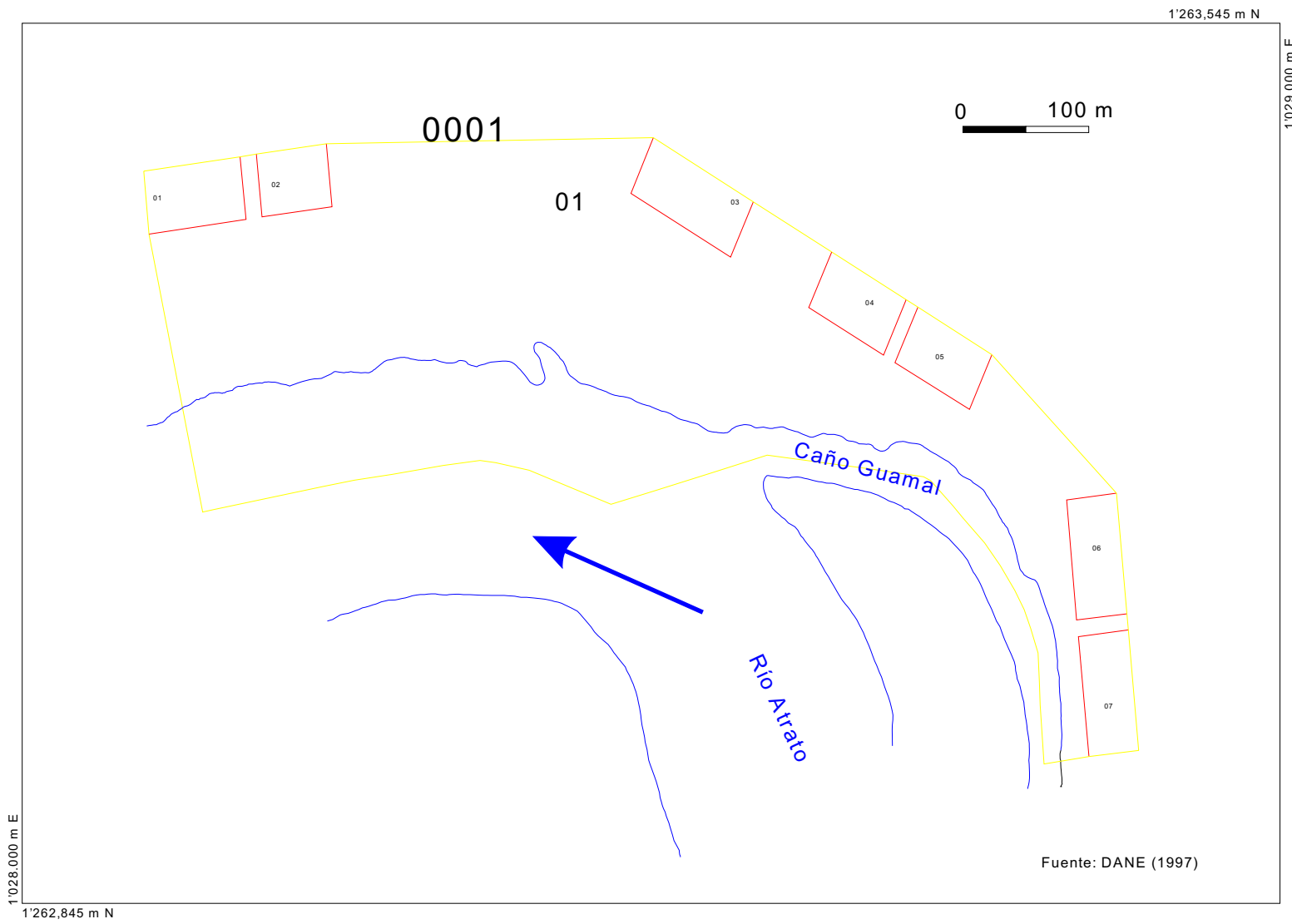
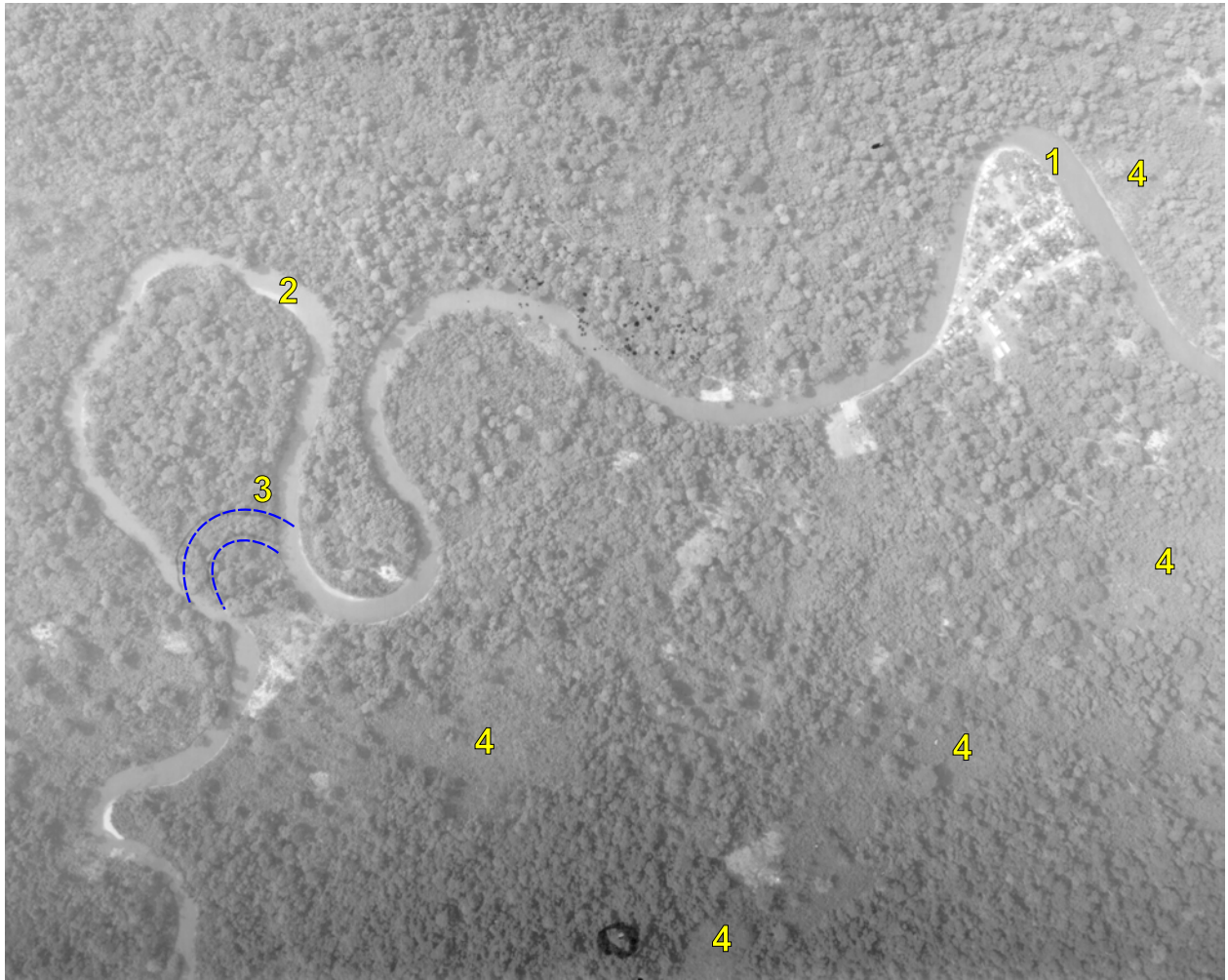
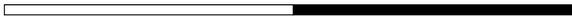


Figura 12.5 Nuevo Murindó, área urbana
(Ver también A3.13 a 15)

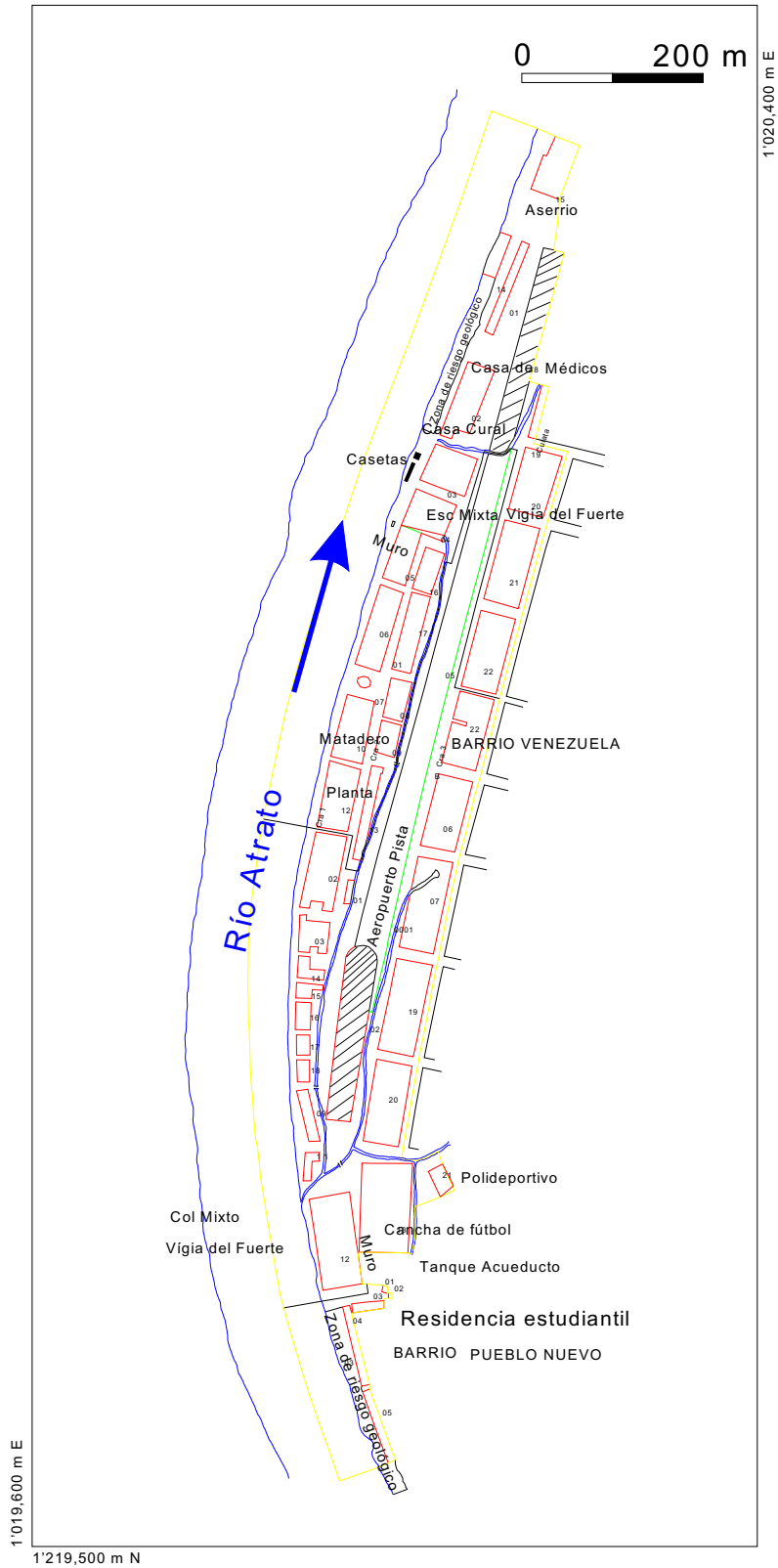


Fuente: IGAC, foto aérea vuelo C1309-169, fecha (?)

0  1 km

- 1- Casco urbano
- 2- Meandro abandonado en fecha posterior a 1970
- 3- Nuevo curso del río
- 4- Áreas desmontadas hacia 1970

Figura 12.6 Antigua Murindó, área urbana
(Ver también A3.13 a 15)



Fuente: DANE (1997)

Figura 12.7 Vigía del Fuerte, área urbana
(Ver también A3.19)

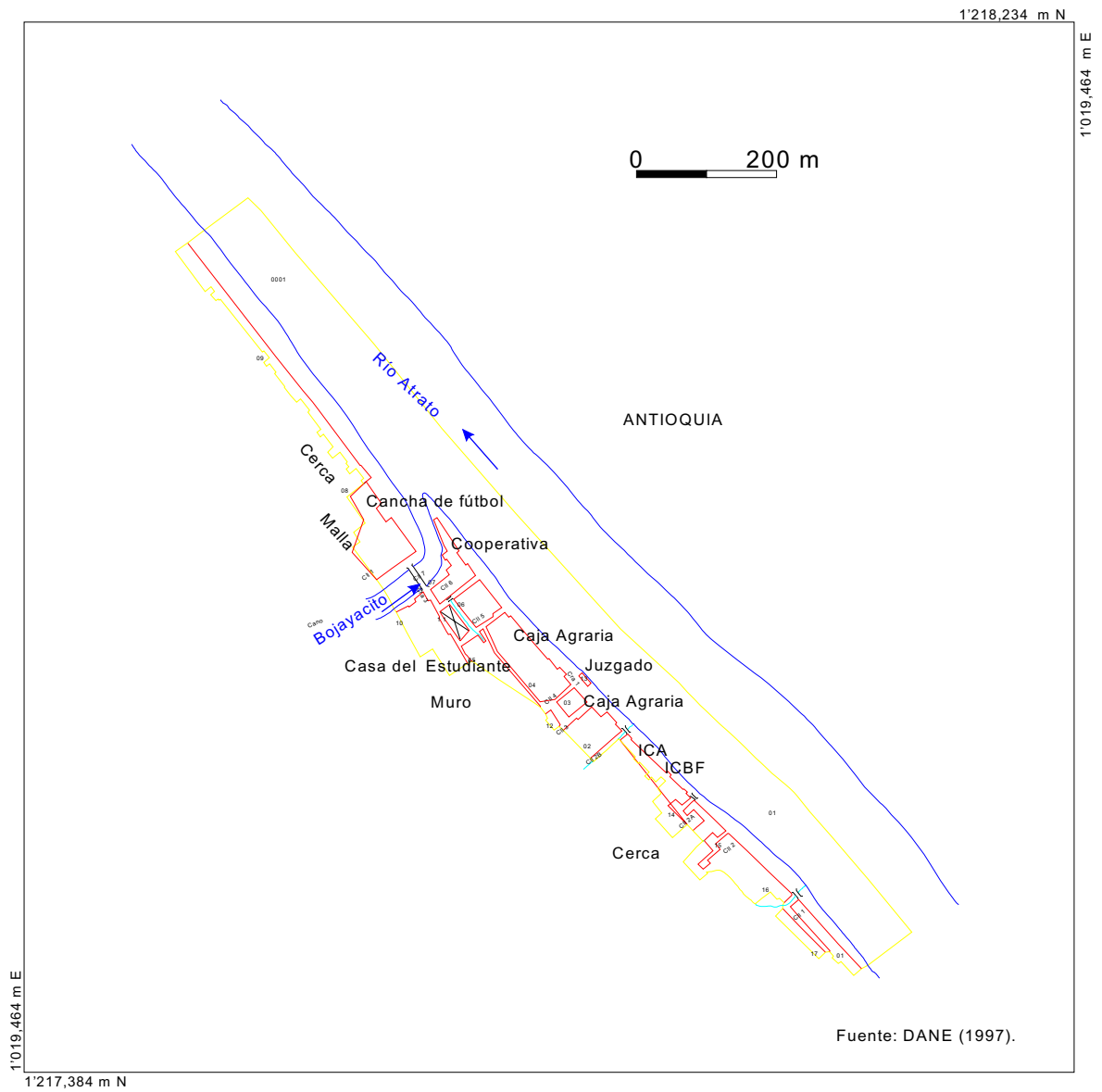


Figura 12.8 Bojayá, área urbana (Ver también A3.19)

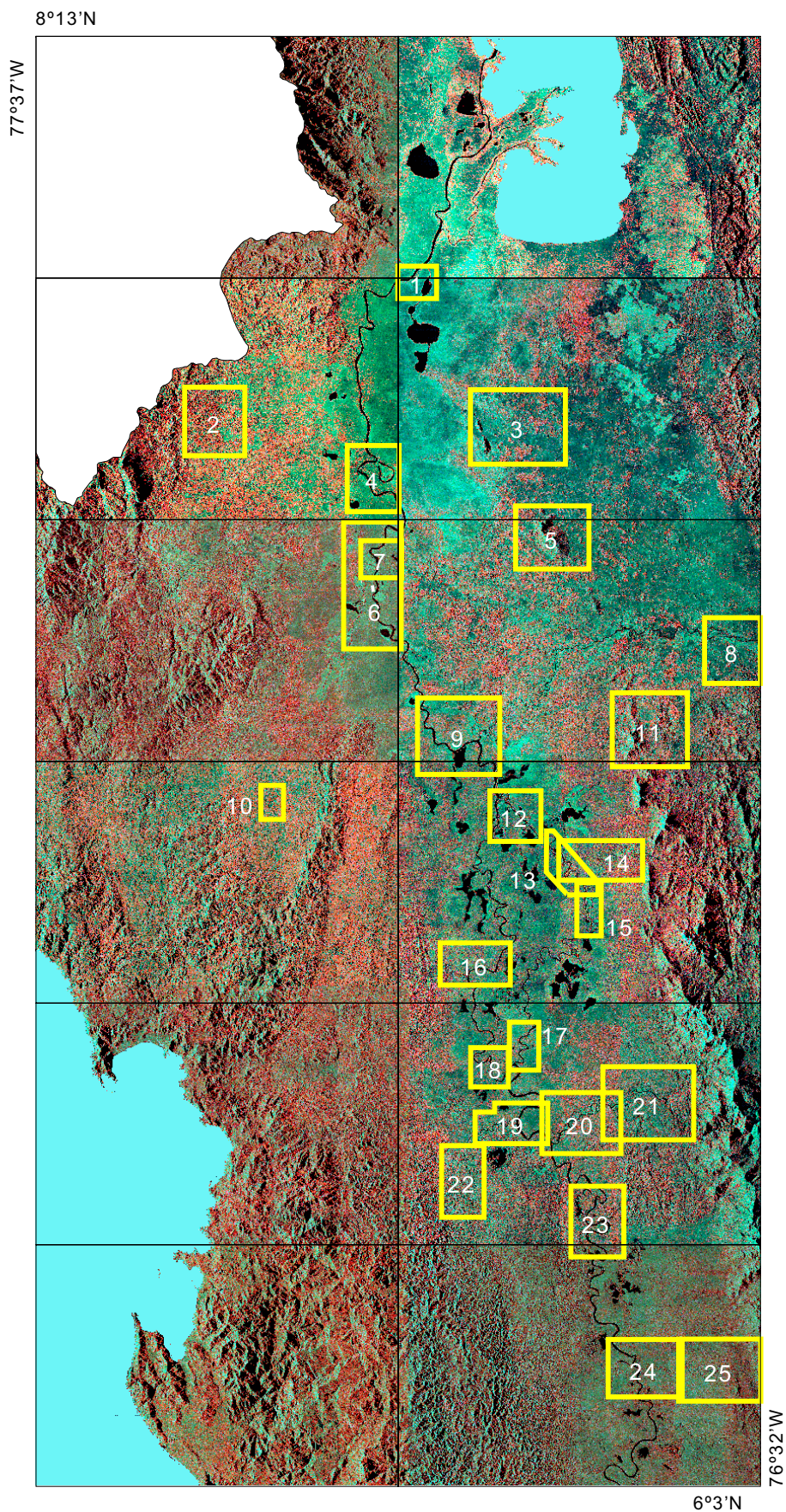
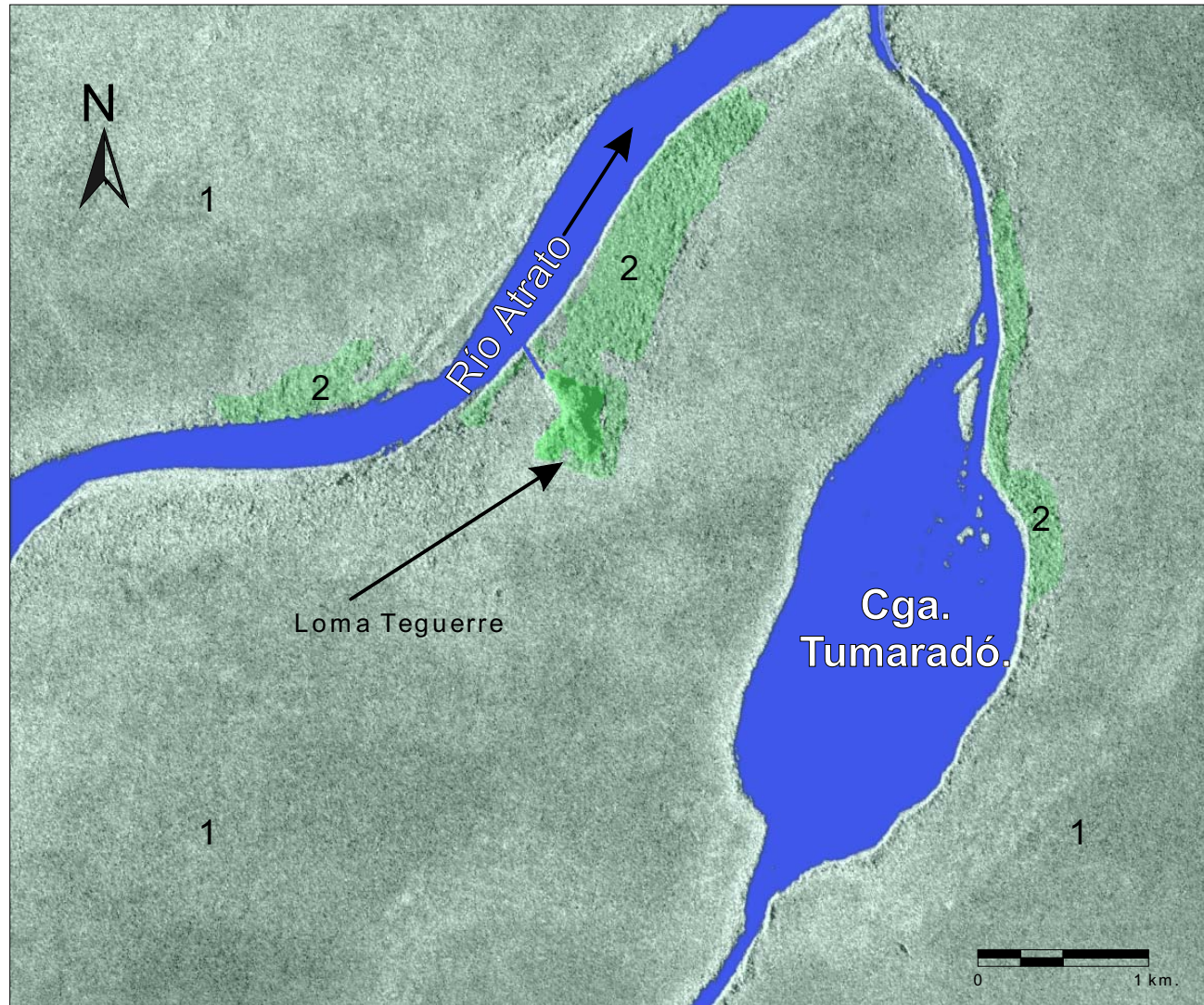
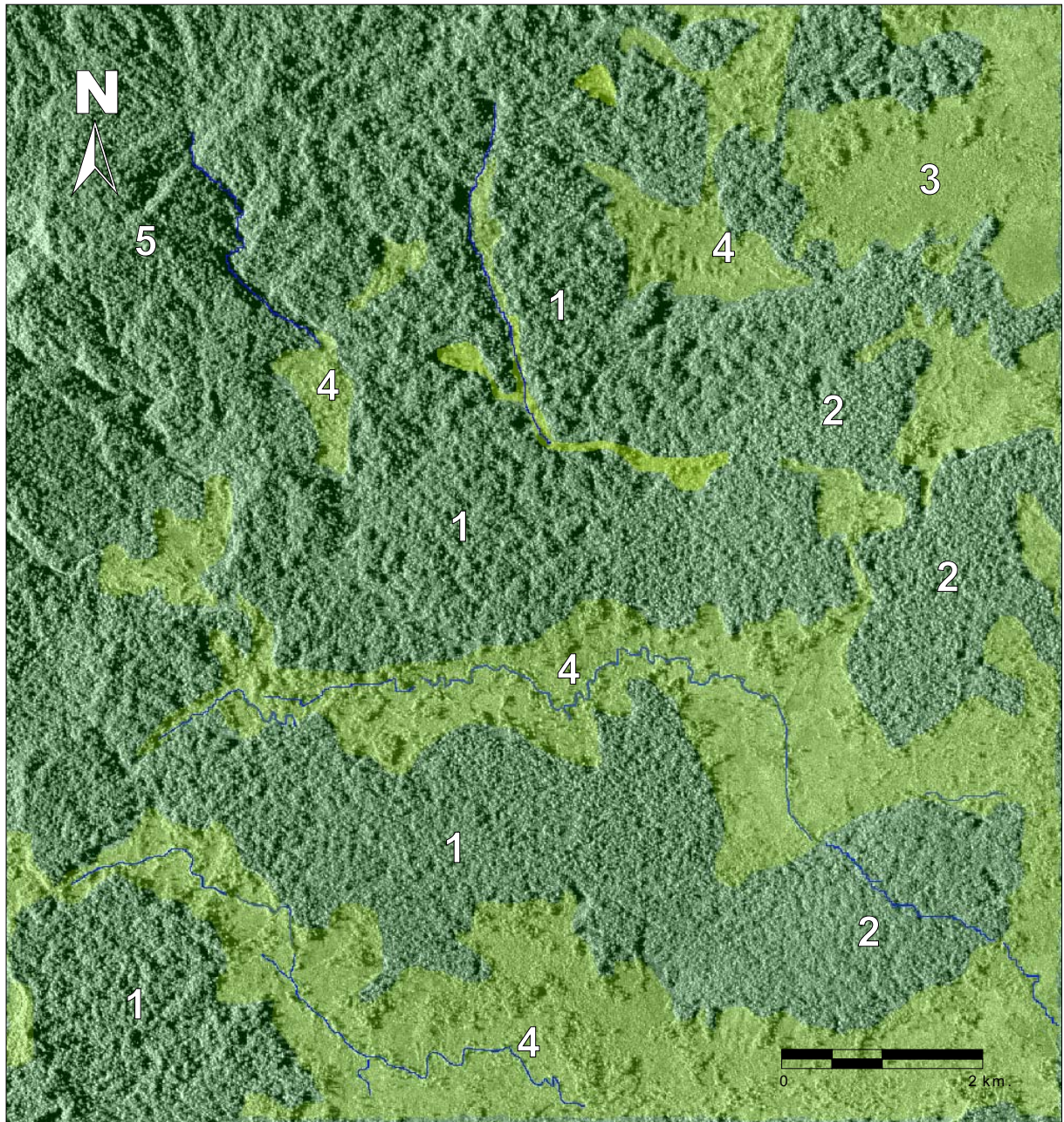


Figura 12.9 Índice de imágenes
(figs. 12.10 a 12.34)



1. Planicie pantanosa. 2. Diques y orillares vegetados. La Loma Teguere es expresión de formaciones geológicas bajo la planicie aluvial que se alinea con la Loma del Cuchillo y Lomas Aisladas, al SE, y con colinas en la margen izquierda del Atrato

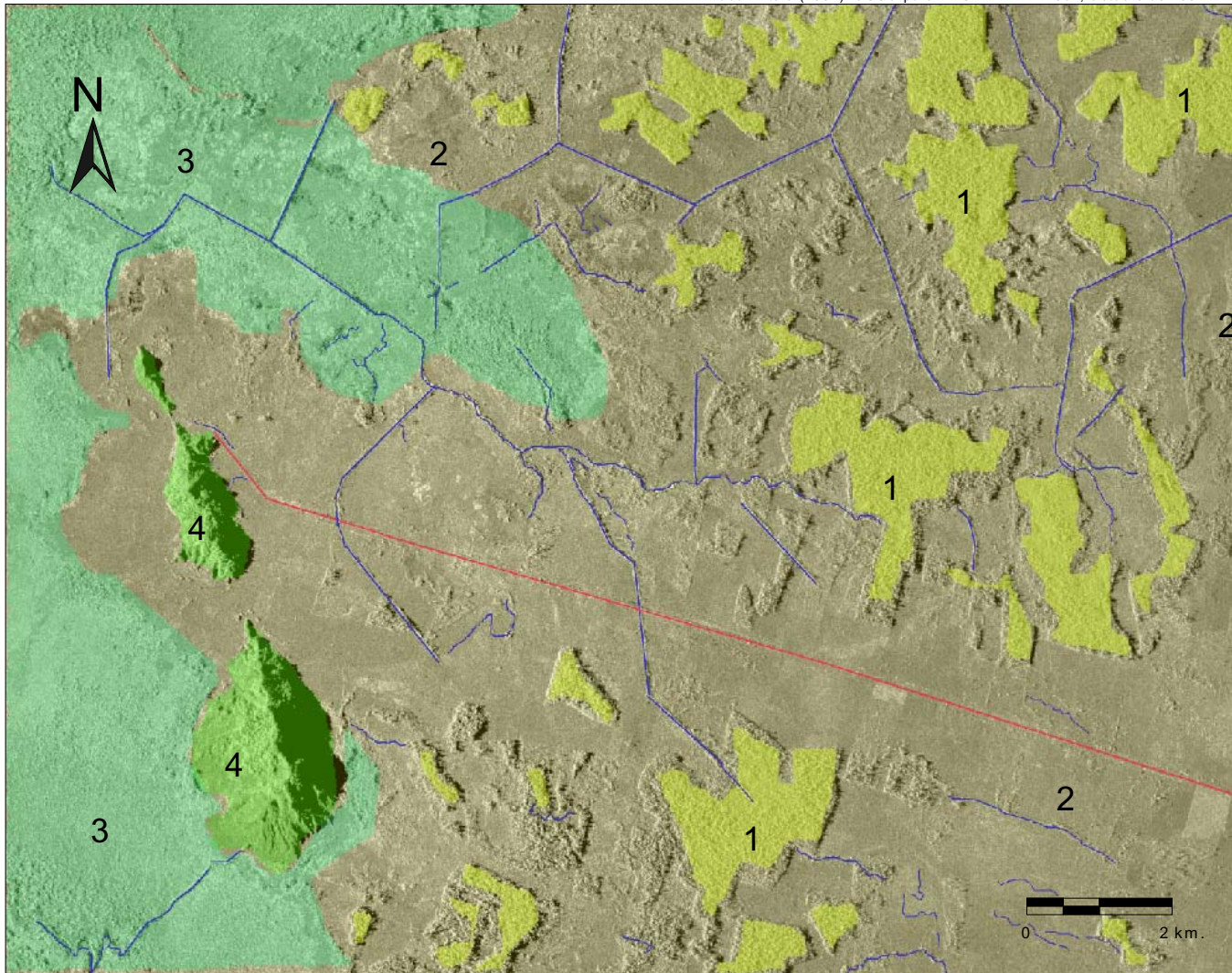
Figura 12.10 Loma Teguere.



1. Bosques parcialmente intervenidos sobre terreno ondulado. 2. Bosques parcialmente intervenidos sobre terrenos planos parcialmente inundables. 3. Área deforestada sobre la llanura aluvial del Atrato. 4. Áreas deforestadas sobre el piedemonte de la Serranía del Darién y sobre terrenos ondulados a planos del Cacarica y afluentes. 5. Área montañosa en la Serranía del Darién, frontera con Panamá.

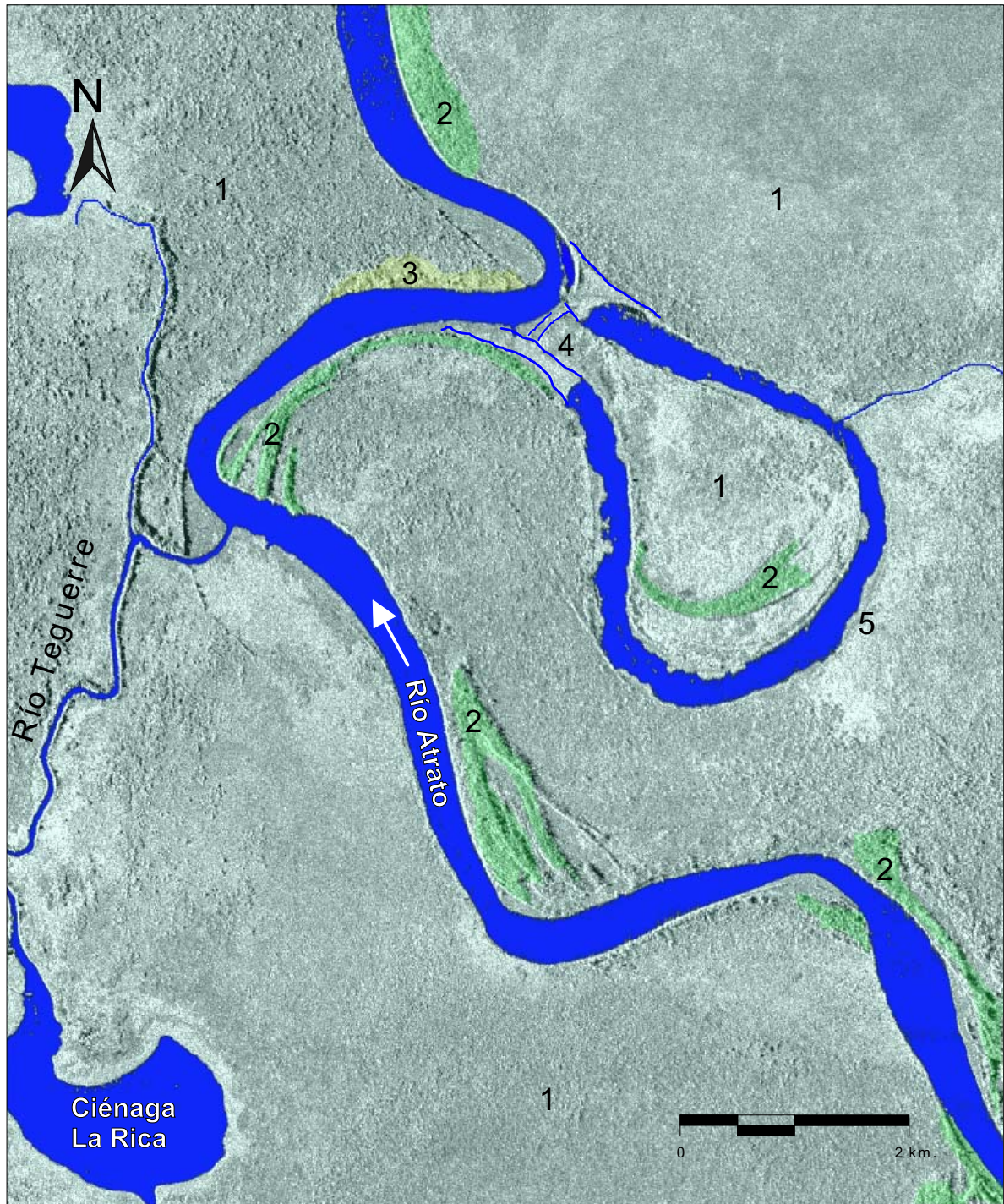
Figura 12.11 Río Cacarica, frontera con Panamá.

Composición e interpretación a partir de imágenes de radar Inera (1992). OSSO para PNUD-DNPAD. Cali, Octubre de 1997.



1.Reductos de bosques (Cativales), intervenidos. 2.Potreros, rastrojo y cultivos sobre áreas deforestadas. 3.Áreas marginales de la llanura aluvial del Atrato, con bosque muy intervenido (parte superior izquierda de la composición). 4. Lomas Aisladas con cubierta de bosque. Línea roja:Carretera Barranquillita - Lomas Aisladas. Líneas azules:Canales artificiales para extracción de madera.

Figura 12.12 Lomas Aisladas.

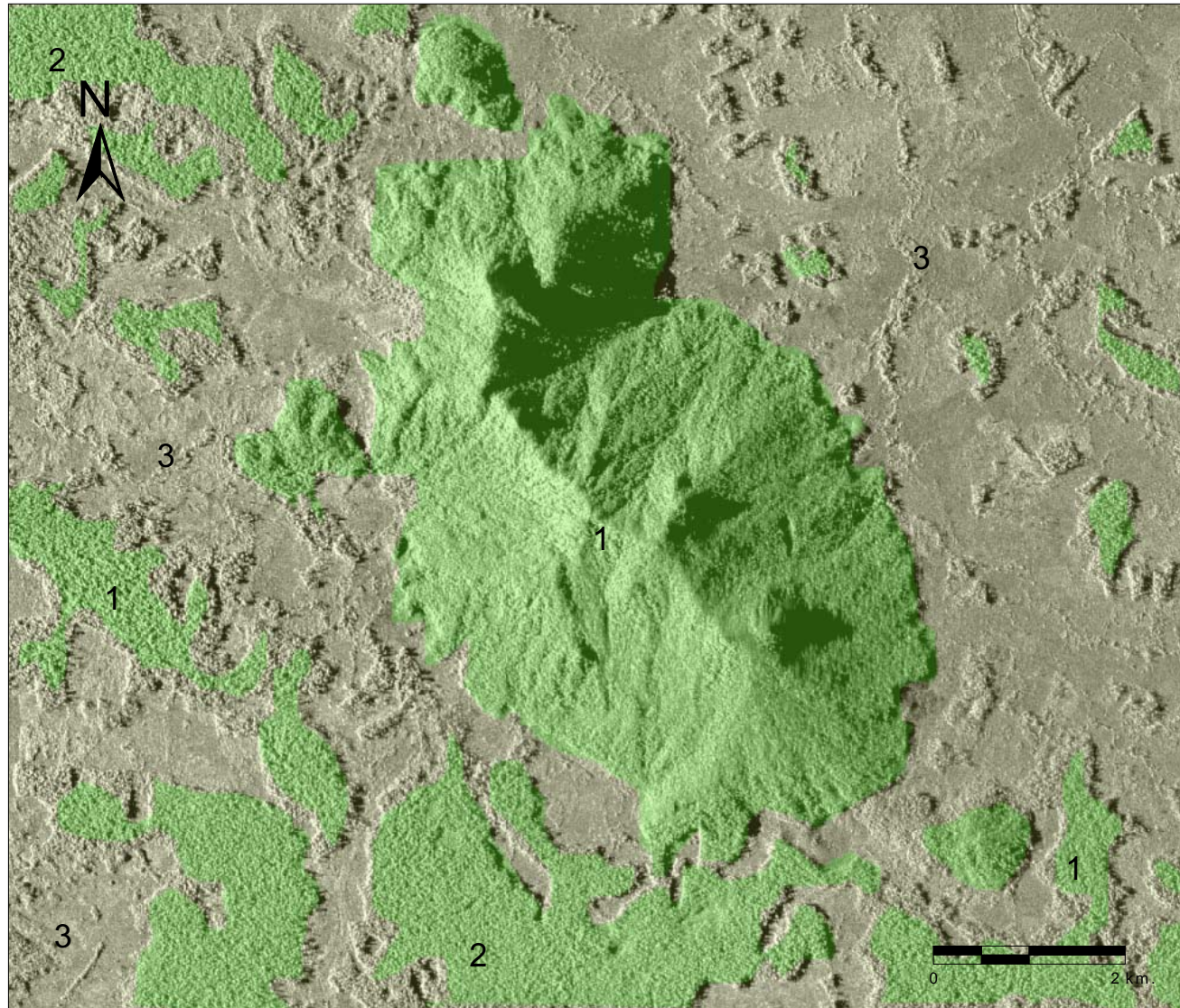


Composición e interpretación a partir de imágenes de radar. Interera (1992). OSSO para PNUD-DNPAD. Cali, Octubre de 1997.

1. Llanura aluvial pantanosa con vegetación (panganales) sobre la margen izquierda (arriba, a la derecha). 2. Diques vegetados inundables. 3. Corregimiento La Honda y áreas adyacentes con desmonte y pocos cultivos. 4. "Travesía La Honda", lugar en donde hacia los años 1960 se abrió un pequeño canal. 5. Meandro abandonado en proceso de sedimentación.

Figura 12.13 La Honda.

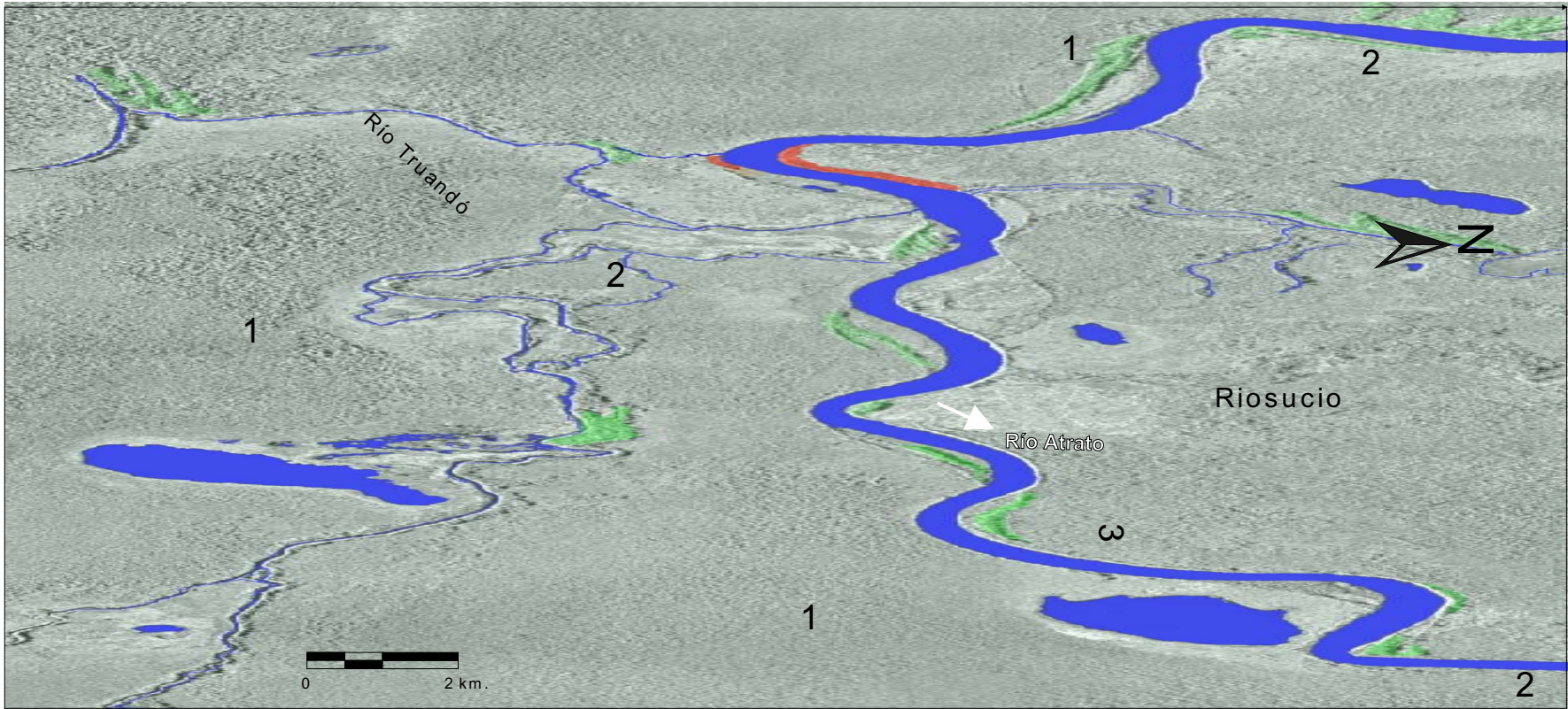
Composición e interpretación a partir de imágenes de radar Intera (1992). OSSO para PNUD-DNPAD. Cali, Octubre de 1997.



1.Loma del Cuchillo con bosque parcialmente explotado. 2. Reductos de bosque (Cativales), parcialmente explotados.3. Potreros, rastrojos y algunos cultivos sobre terrenos marginales de la planicie aluvial del Atrato, en los cuales el bosque ha desaparecido.

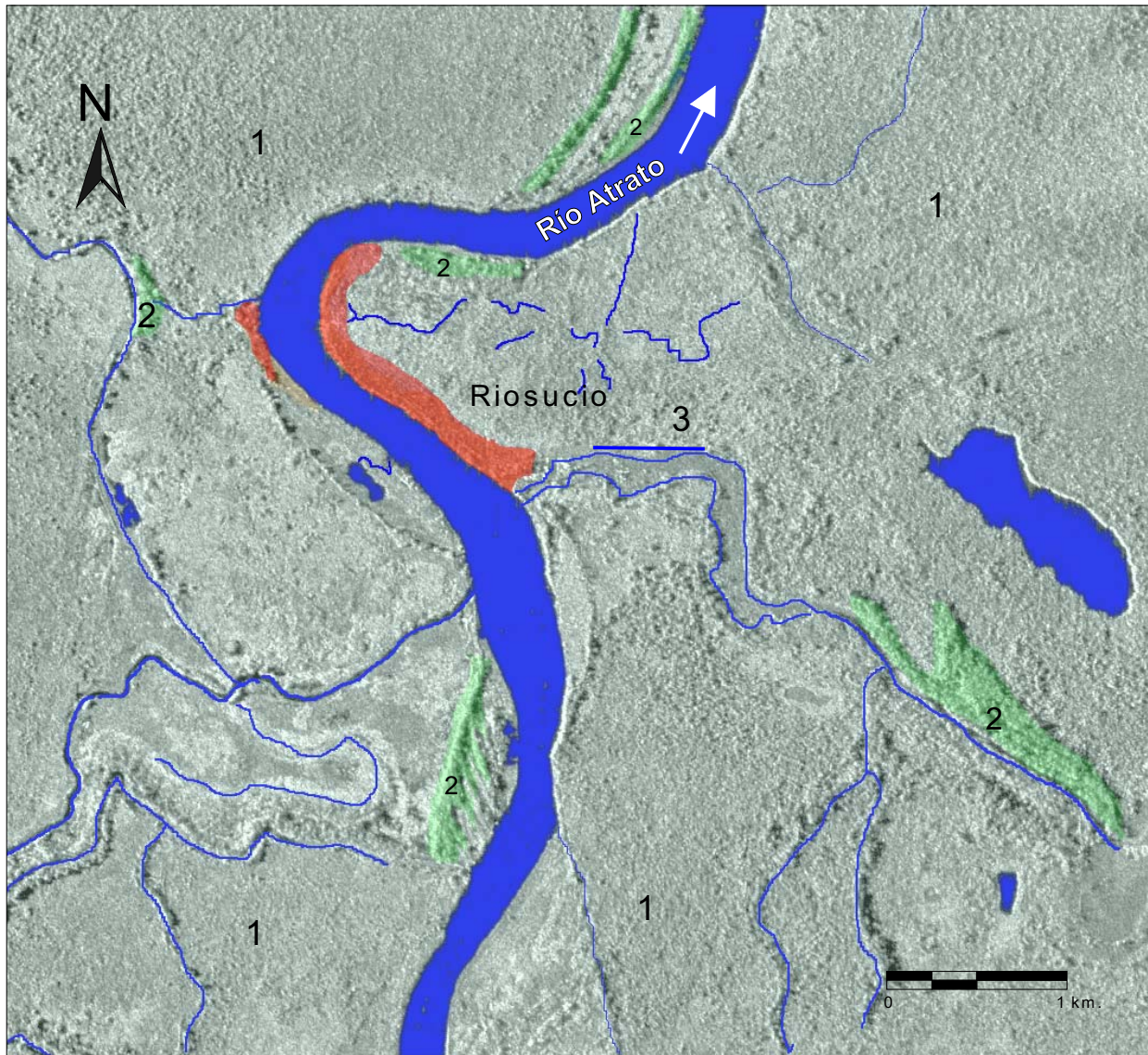
Figura 12.14 Loma del Cuchillo.

Composición e interpretación a partir de imágenes de radar Intera (1992). OSSO para PNUD-DNPAD. Cali, Octubre de 1997.



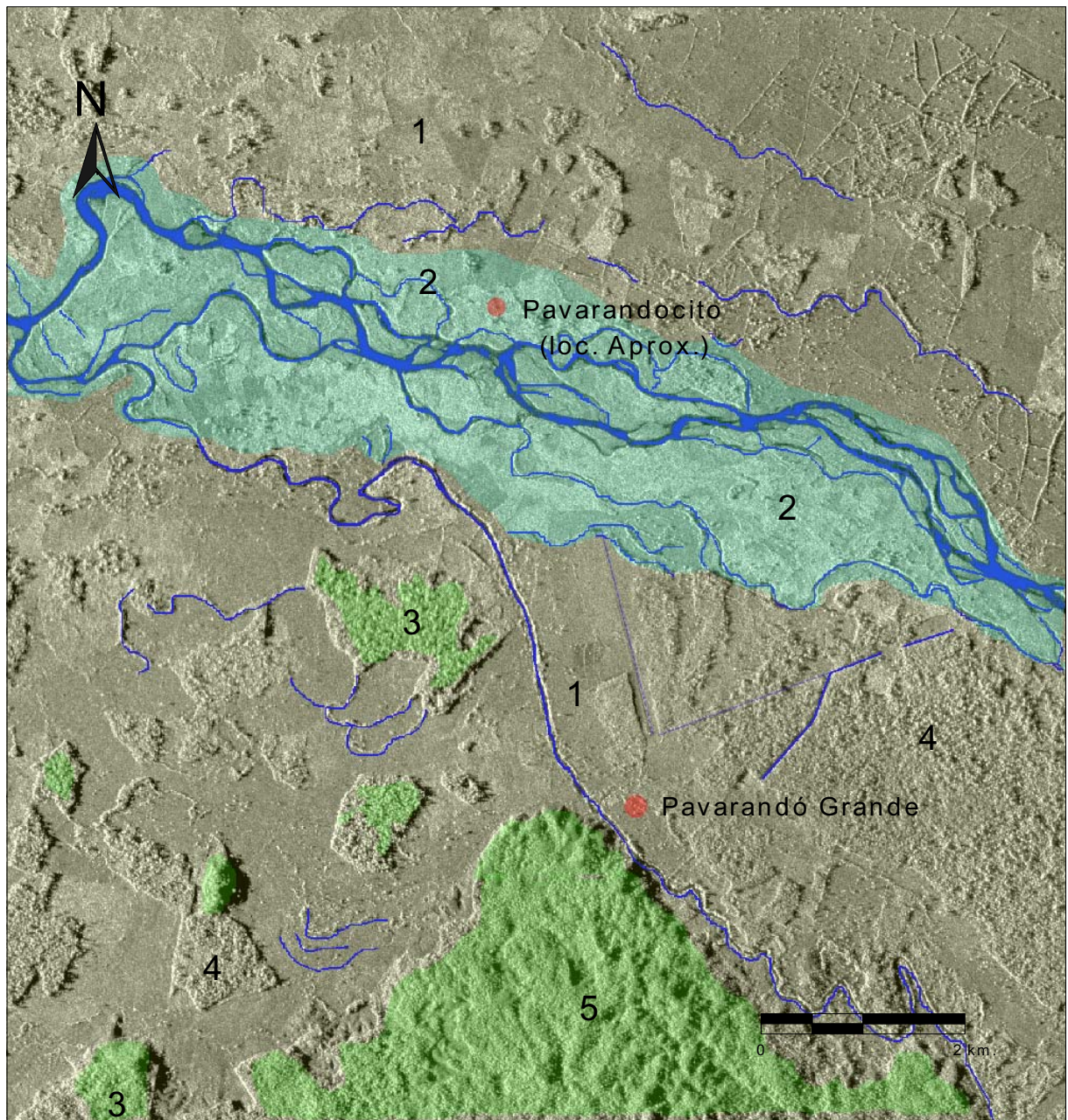
1. Planicie aluvial central del Atrato, áreas pantanosas de fondo profundo con panganales en la margen izquierda del río Truando. 2. Diques vegetados permanentemente inundados con suelos predominantemente orgánicos, no aptos para la agricultura. 3. Antiguo curso del río Sucio. Nótese la ausencia de terrenos aptos para nuevos asentamientos humanos.

Figura 12.15 Región de Riosucio.



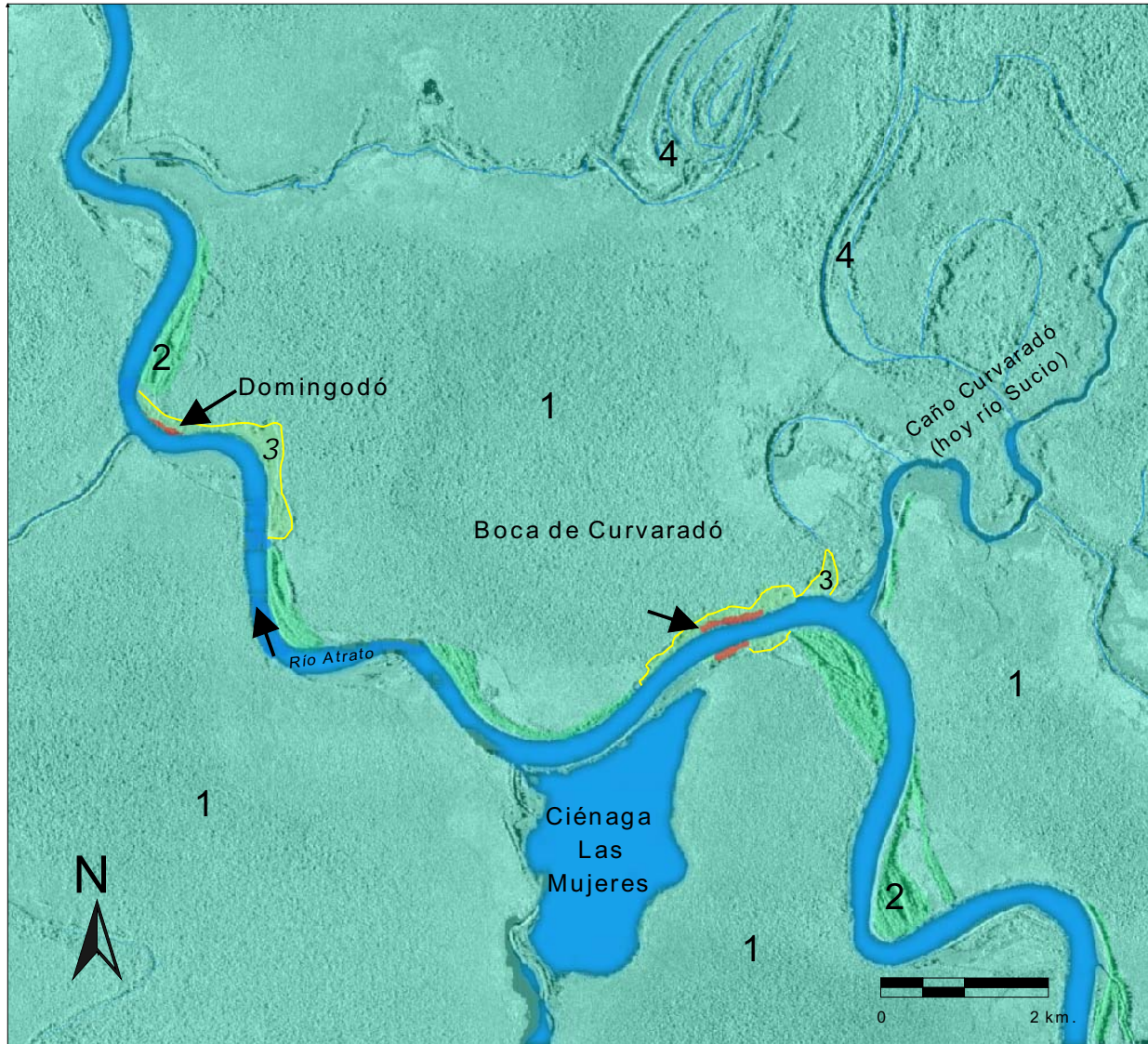
1. Planicie pantanosa. 2. Diques vegetados permanentemente inundables. 3. Antigua aeropuerto, abandonado por efecto de inundaciones. El área urbana agotó la porción más consolidada del dique y se extiende sobre la planicie pantanosa.

Figura 12.16 Municipio de Riosucio.



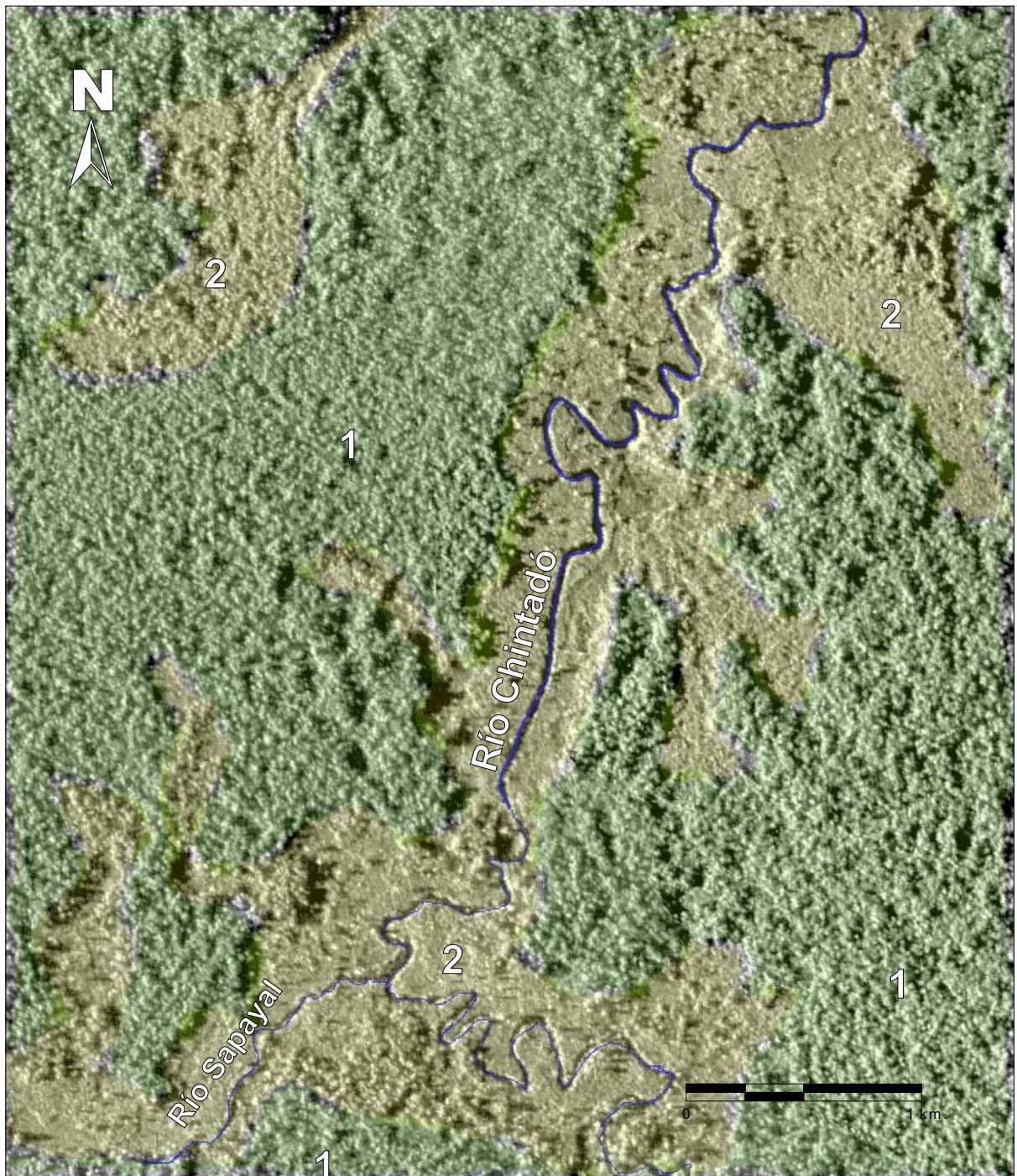
1.Potreros y cultivos. 2. Llanura de inundación del río Sucio, sobre la cual sus cauces trezados varían su curso durante crecientes.3. Reductos de bosque intervenido.4.Manchas de bosques muy intervenidos. 5.Bosques intervenidos en zona montañosa.

Figura 12.17 Rio Sucio en Pavarandó.



1. Llanura aluvial pantanosa del Atrato. 2. Diques inundables vegetados. 3. Diques desmontados con cultivos. 4. Cauces abandonados del río Atrato.

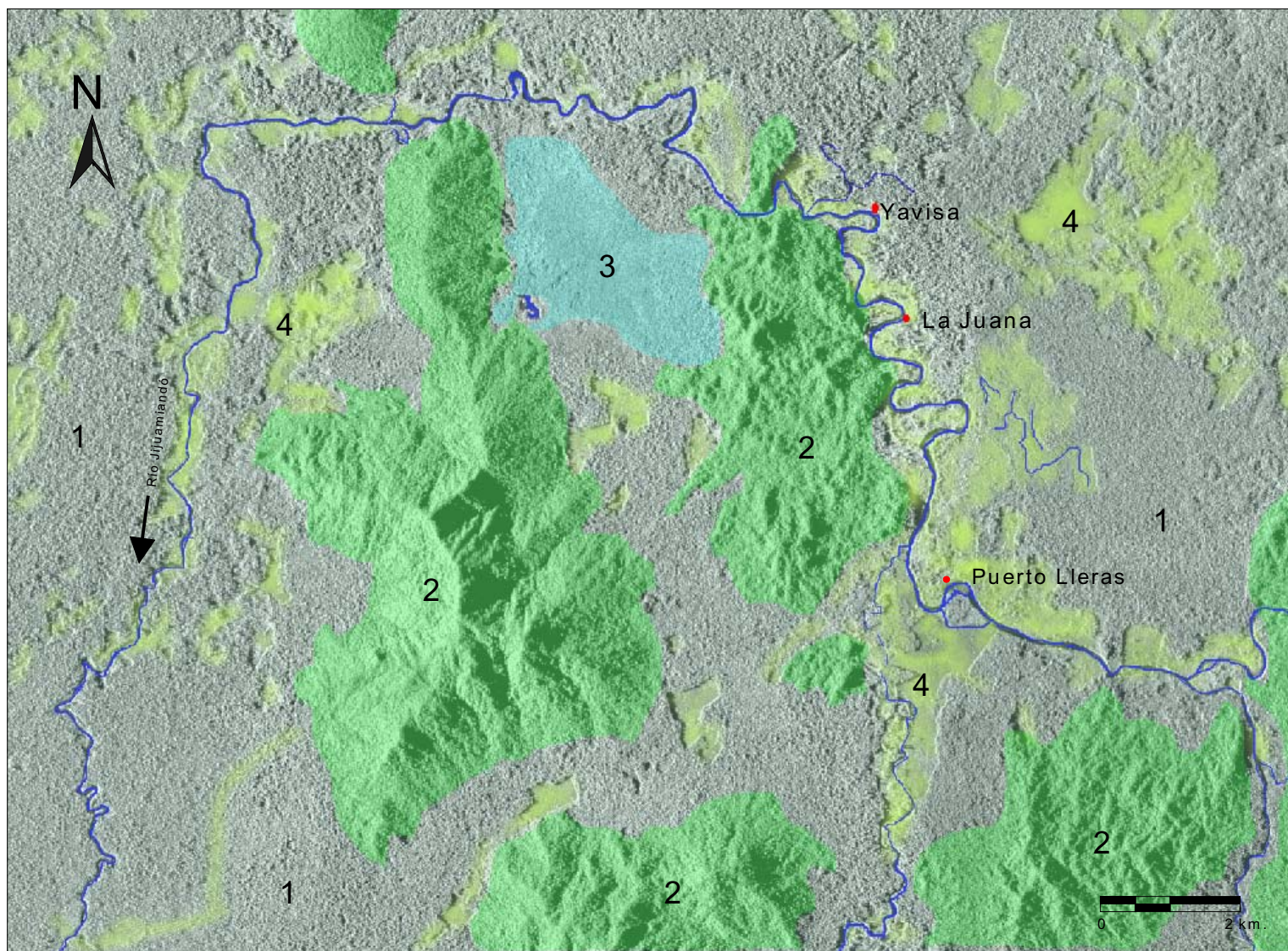
Figura 12.18 Domingodó y Boca de Curvaradó.



Composición e interpretación a partir de imágenes de radar Intera (1992), OSSO para PNUD-DNPAD, Cali, Octubre de 1997.

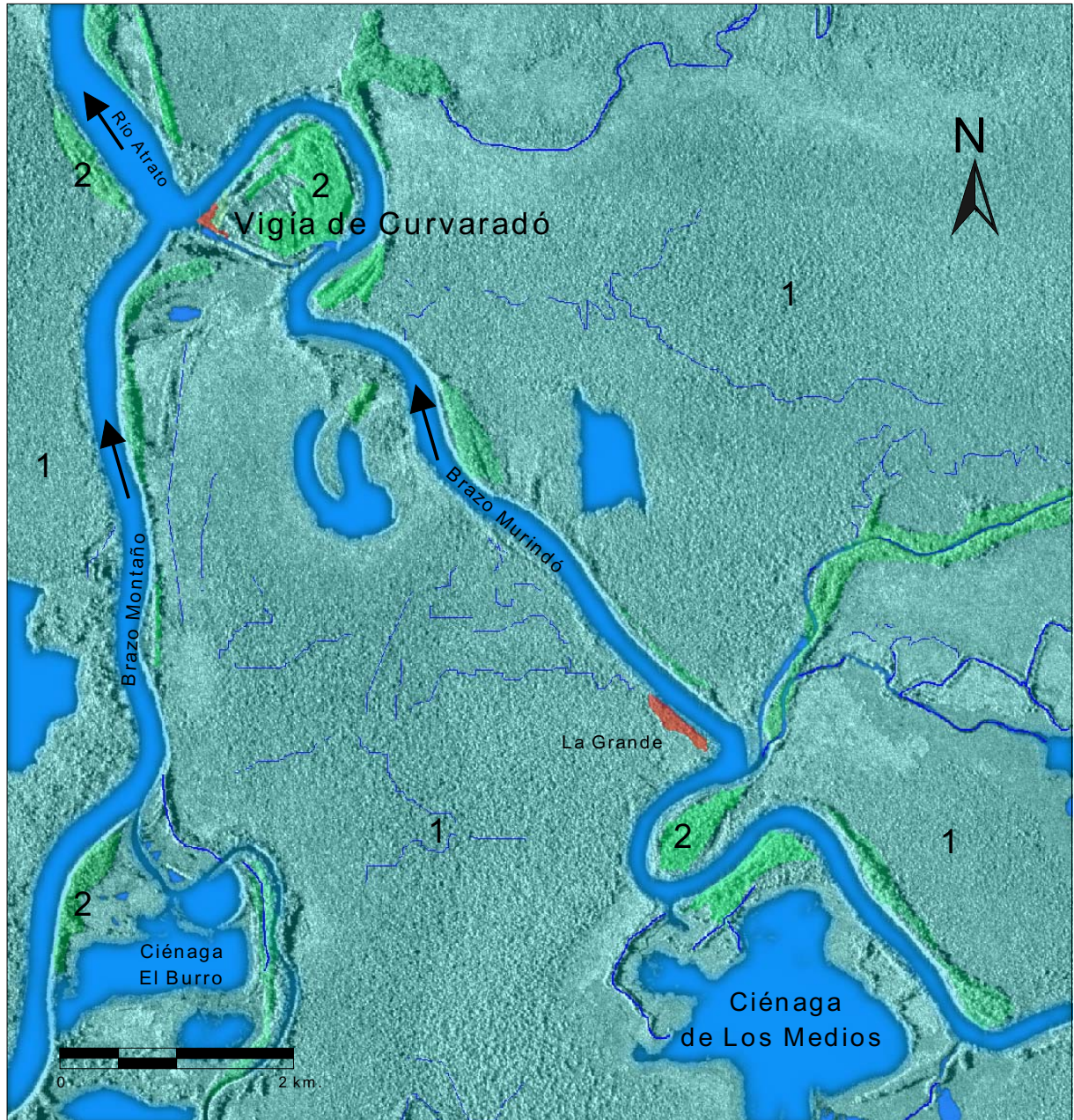
1. Bosques parcialmente intervenidos. 2. Áreas deforestadas a lado y lado del río Chintadó y sus afluentes. El Chintadó es afluente del Truandó. La composición ilustra el proceso de deforestación ascendente sobre las cuencas de tributarios del Atrato. En detalle las imágenes de radar permiten observar coladas de barro y procesos erosivos sobre los suelos deforestados.

Figura 12.19 Río Chintadó.



1. Abanicos aluviales con bosques parcialmente intervenidos (áreas de aspecto rugoso). 2. Áreas montañosas con bosque nativo. Sobre las vertientes más empinadas ocurrieron centenares de deslizamientos por los terremotos del 17 y 18 de Octubre de 1992. 3. Depresión inundable (Ciénaga del Lobo). 4. Áreas desmontadas, en rastrojo, potreros y cultivos.

Figura 12.20 Río Jiguamiandó.



Composición e interpretación a partir de imágenes de radar. Intera (1992). OSSO para PNUD-DNPAD. Cali, Octubre de 1997.

1. Llanura aluvial pantanosa. 2. Diques inundables vegetados.

Figura 12.21 Vigía de Curvaradó y La Grande.

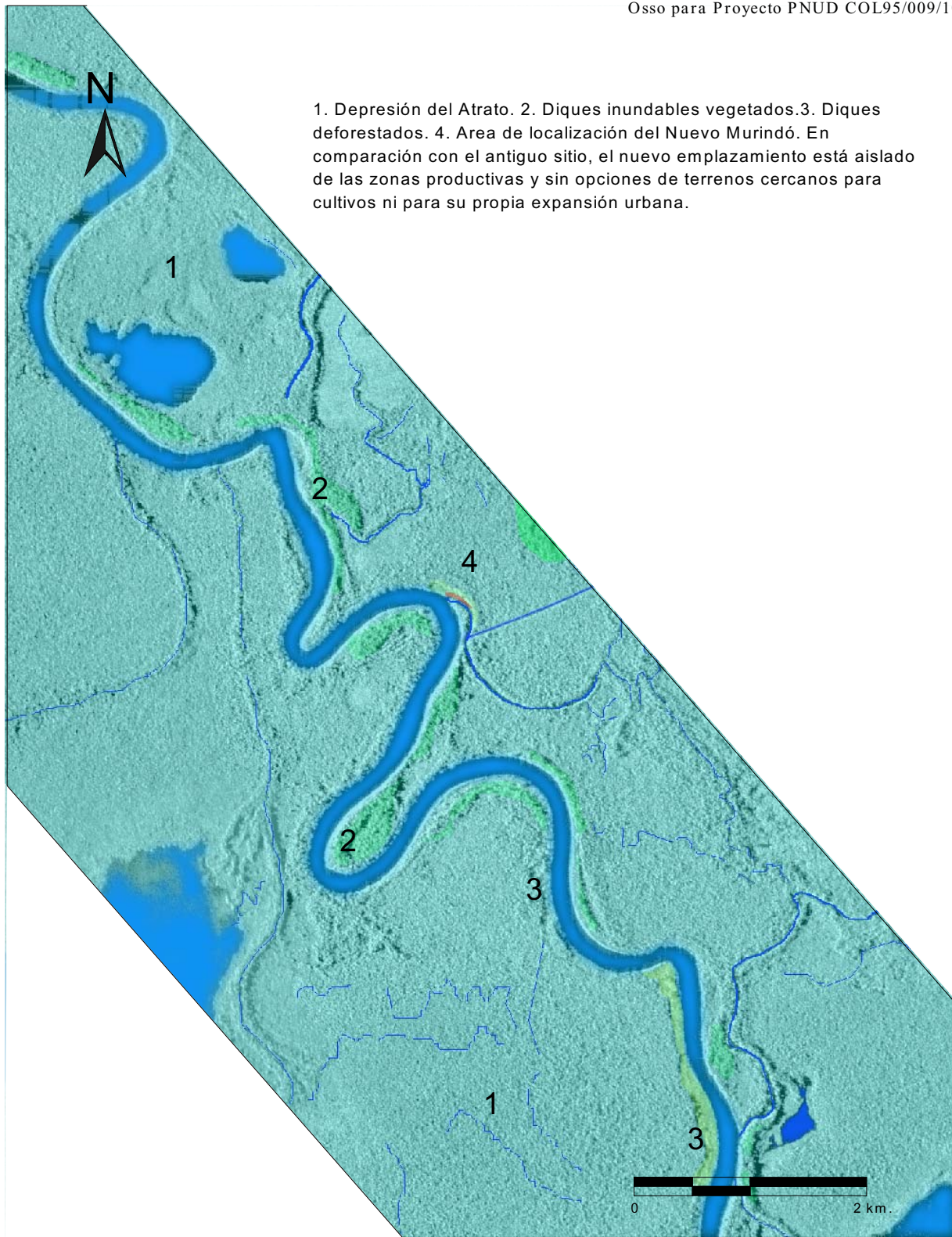
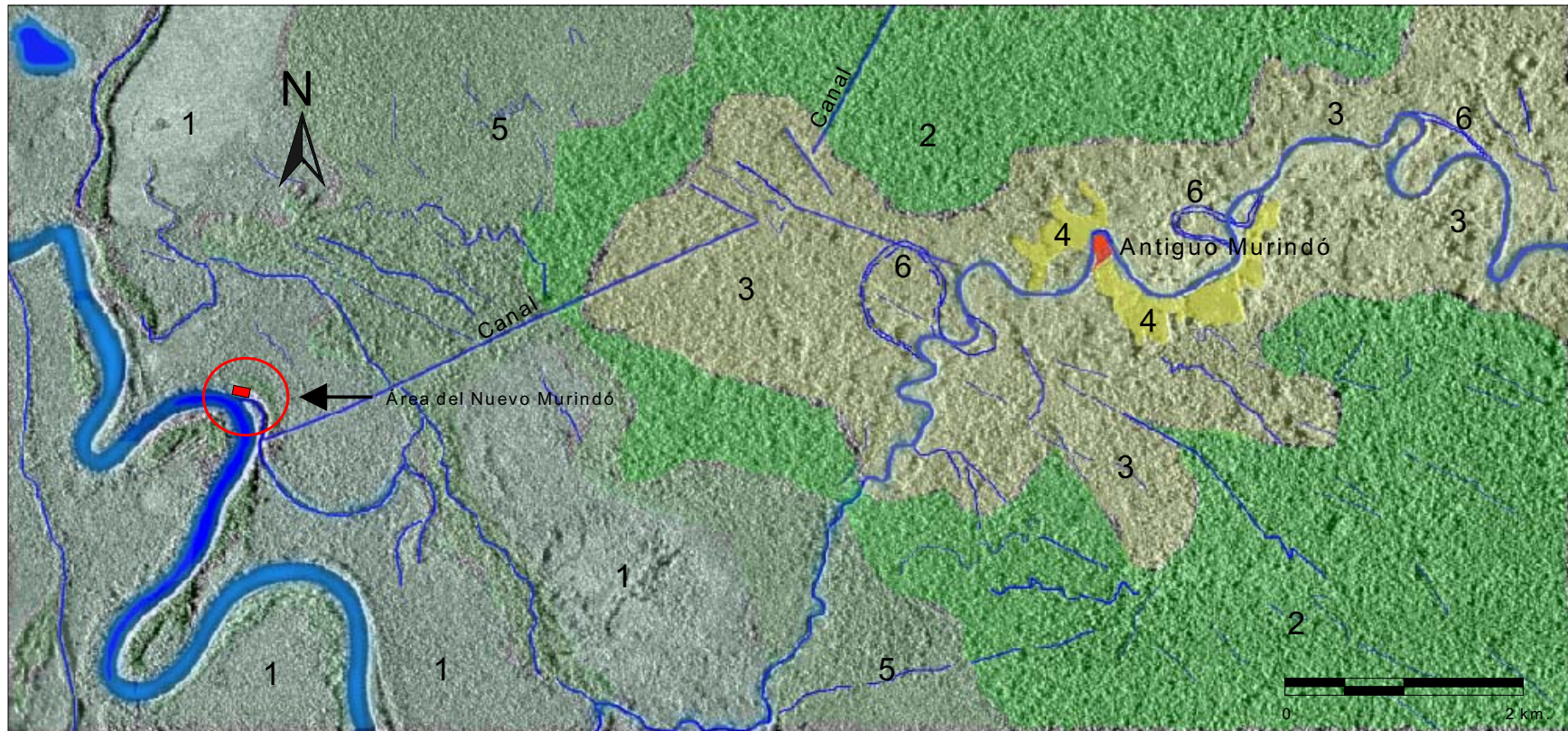


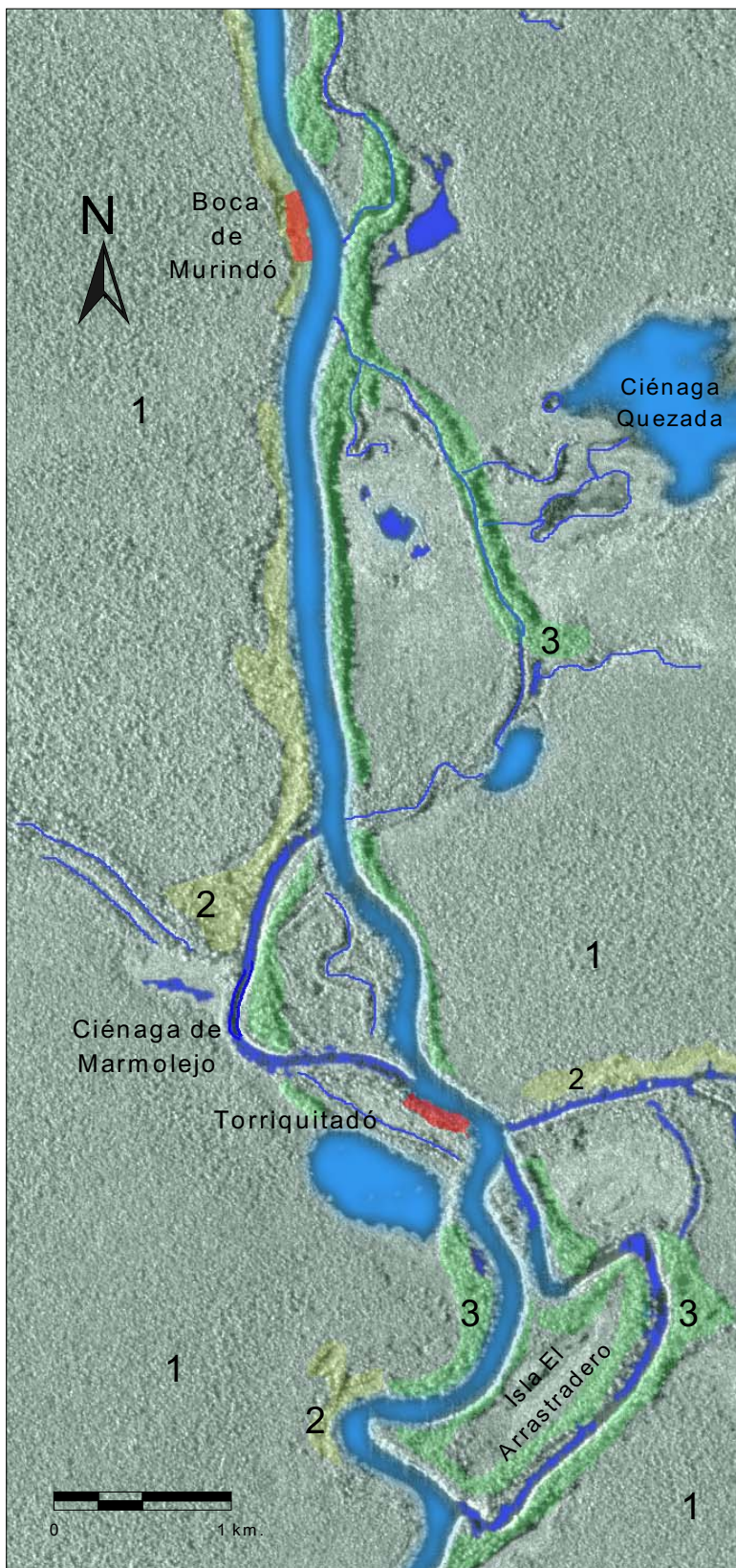
Figura 12.22 Nuevo Murindó.

Composición e interpretación a partir de imágenes de radar Interferometric (1992). OSSO para PNUD-DNPAD. Cali, Octubre de 1997.



1. Depresión del Atrato que incluye ciénagas con vegetación hidrófila y diques vegetados inundables en las riberas del río
2. Bosques parcialmente explotados sobre terrenos inundables del abanico del río Murindó.
3. Bosques intervenidos, incluyendo potreros.
4. Potreros y cultivos en cercanías del antiguo Murindó.
5. Bosques parcialmente intervenidos casi permanentemente inundados en la transición entre el abanico aluvial del Murindó y la depresión del Atrato.
6. Cauces abandonados en fecha posterior a 1970.

Figura 12.23 Antigua Murindó.



1. Depresión inundable.
2. Diques deforestados.
3. Diques vegetados inundables.

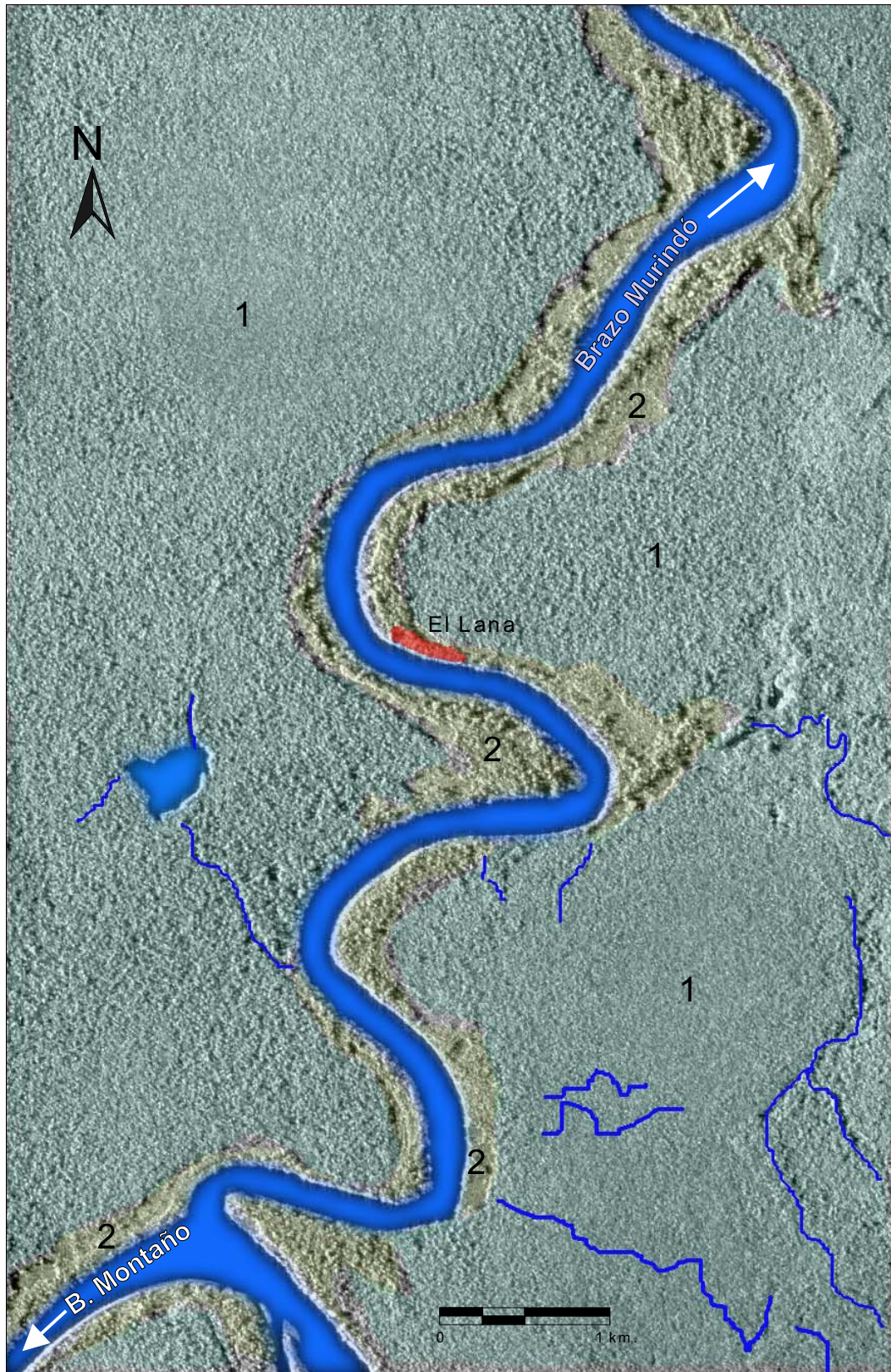
Composición e interpretación a partir de imágenes de radar Intera (1992). OSO para PNUD-DNPAD. Cali, Octubre de 1997.

Figura 12.24 Boca de Murindó - Torriquitadó.



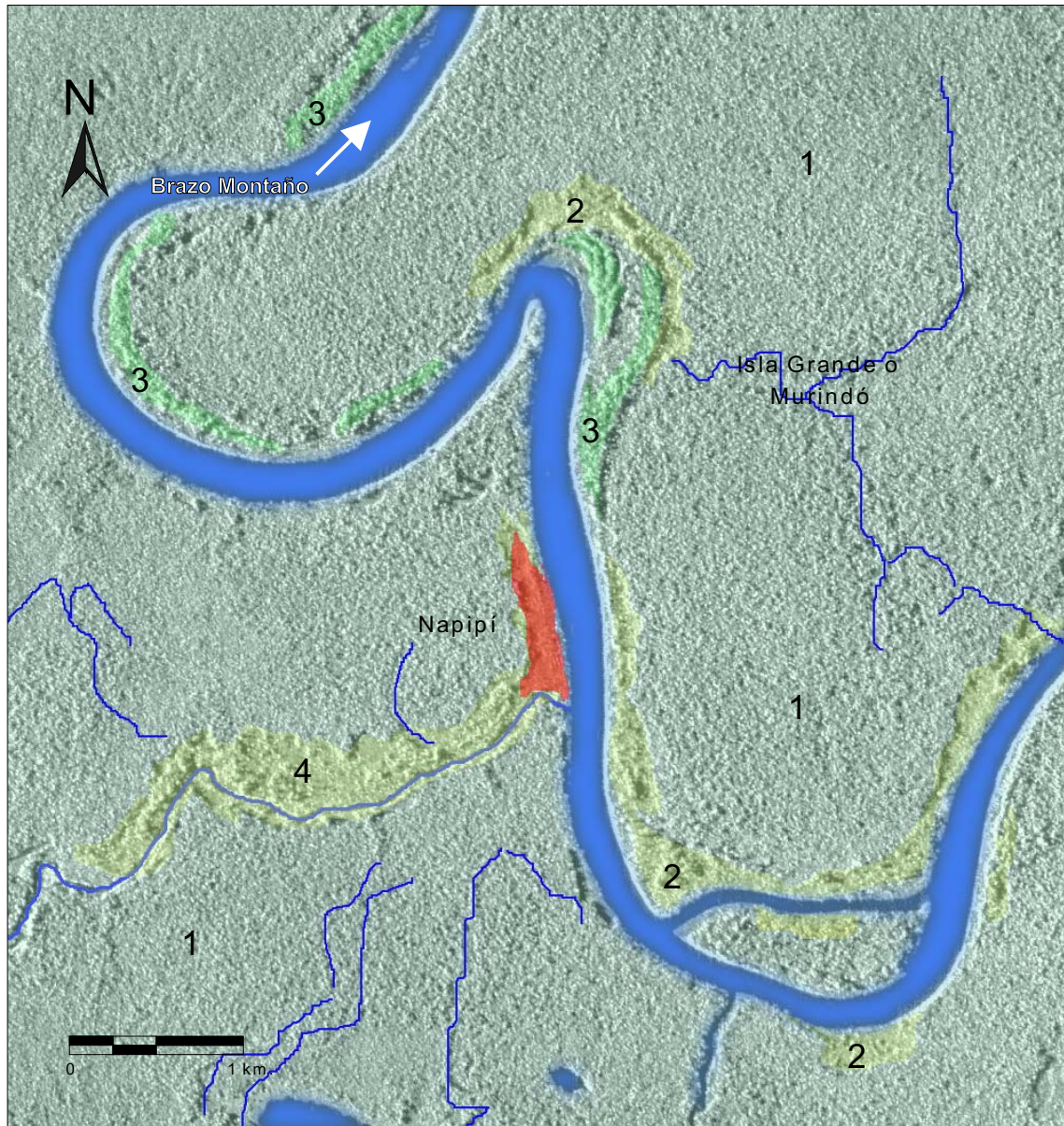
1. Depresión aluvial 2. Diques aluviales deforestados con cultivos. 3. Dique aluvial vegetado. 4. Áreas de explotación forestal y agrícola del río Opogodó, sobre terrenos bajos inundables y sobre relieve ondulado de pequeñas colinas. 5. Área boscosa sobre colinas.

Figura 12.25 Brazo Montaña, Opogodó e Isla de los Palacios.



1. Depresión aluvial. 2. Diques inundables vegetados, parcialmente cultivados.

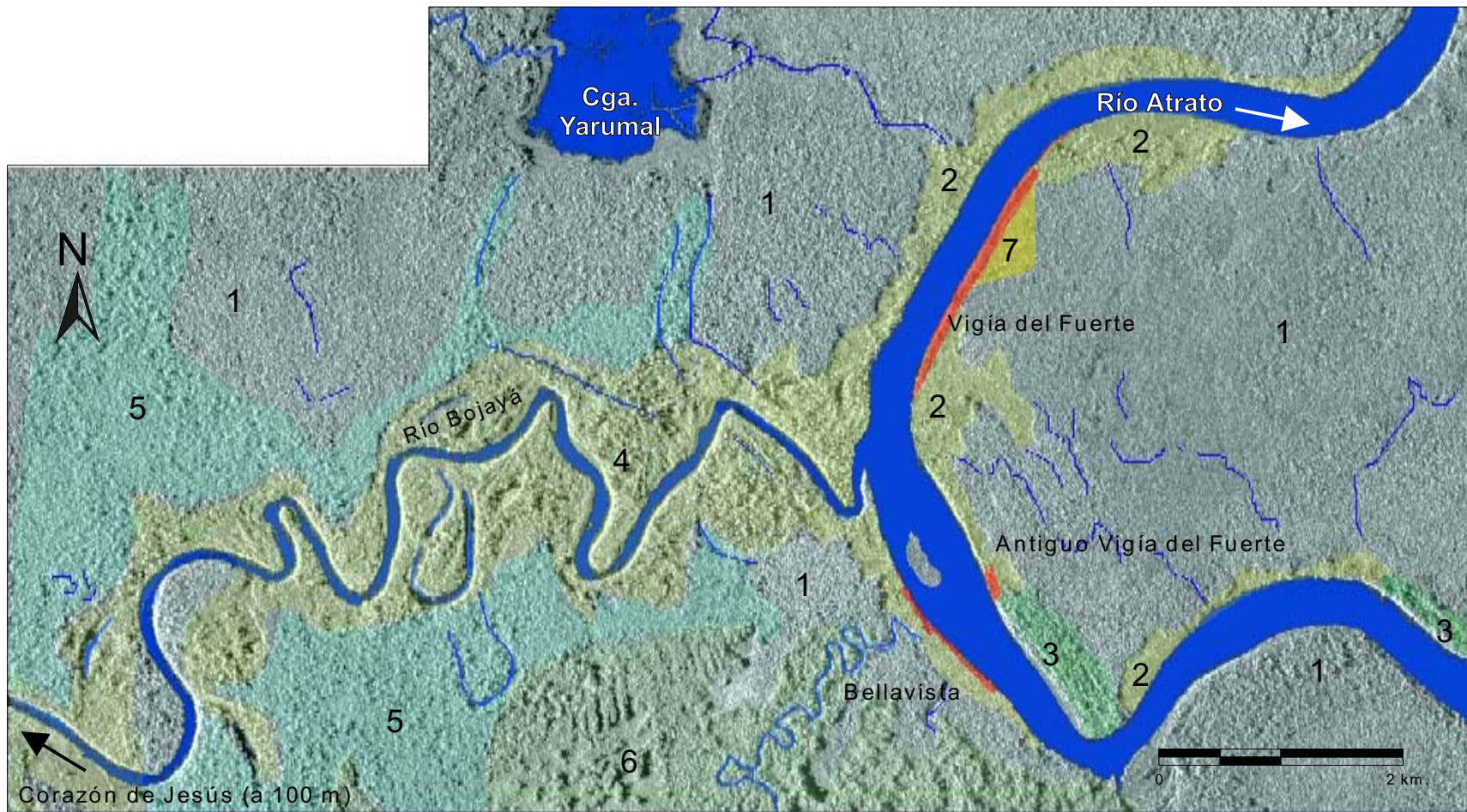
Figura 12.26 Brazo Murindó, sitio El Lana.



Composición e interpretación a partir de imágenes de radar Intera (1992), OSSO para PNUD-DNPAD, Cali, Octubre de 1997.

1. Depresión inundable del Atrato. 2. Diques deforestados. 3 Diques inundables vegetados. 4. Riberas del Río Napipi, deforestadas.

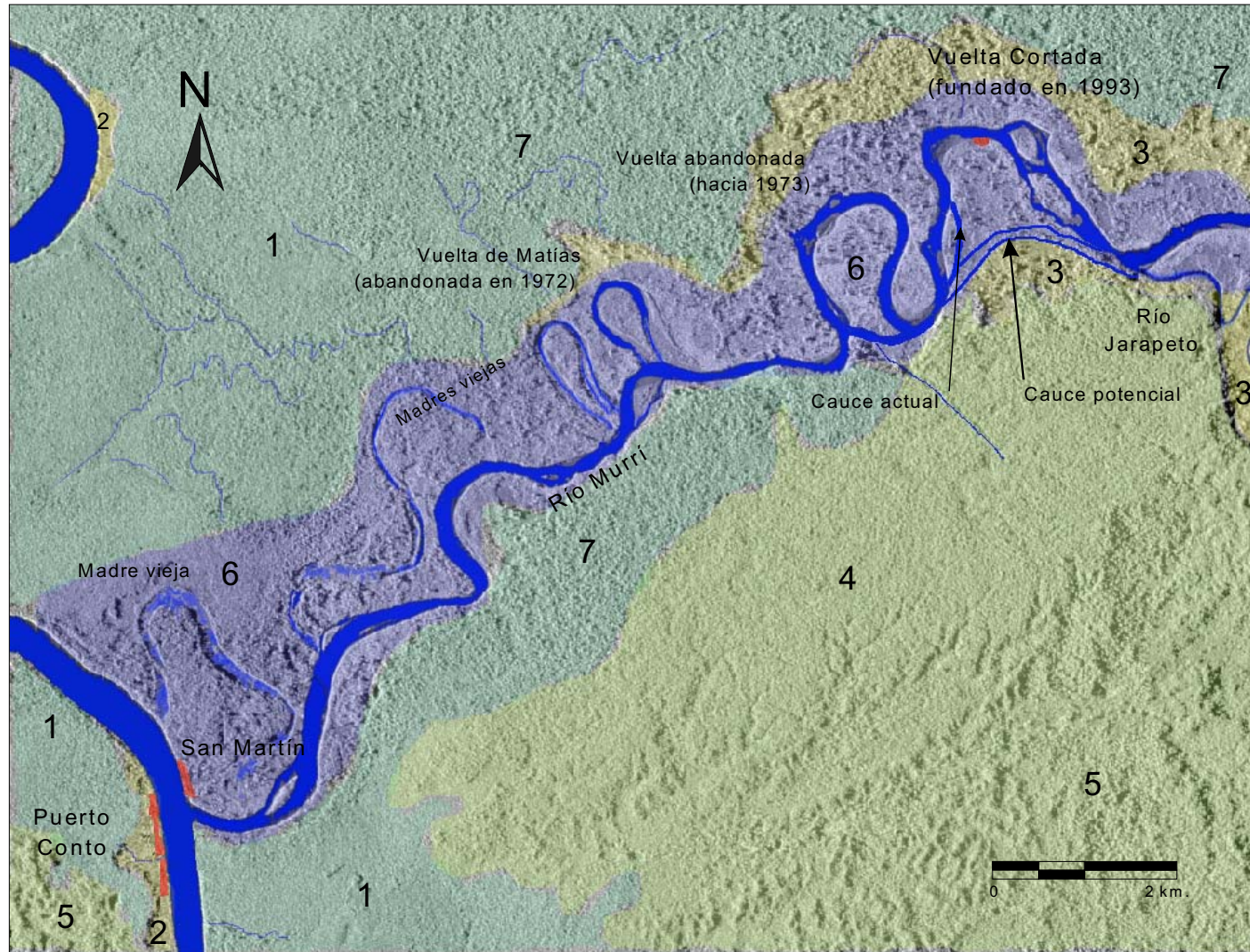
Figura 12.27 Río Napipi.



1. Depresión y llanura aluvial del Atrato. 2. Áreas deforestadas y con algunos cultivos sobre ambas márgenes del Atrato. 3. Diques vegetados inundables. 4. Márgenes del río Bojayá deforestados, con cultivos, sobre relieve suavemente ondulado, inundable en sus partes bajas. 5. Llanura aluvial con cobertura de bosque disperso. 6. Llanura aluvial con relieve de colinas de poca altura. 7. Desmontes y desecación para expansión urbana. Tanto Bojayá como Vigía del Fuerte agotaron los terrenos disponibles para la expansión urbana y tienden a ocupar las zonas cenagosas deprimidas detrás de los diques sobre los que se asientan. En Vigía hay procesos erosivos activos frente a la desembocadura del río Bojayá. Ver continuación de la cuenca del Bojayá en la imagen A3.22.

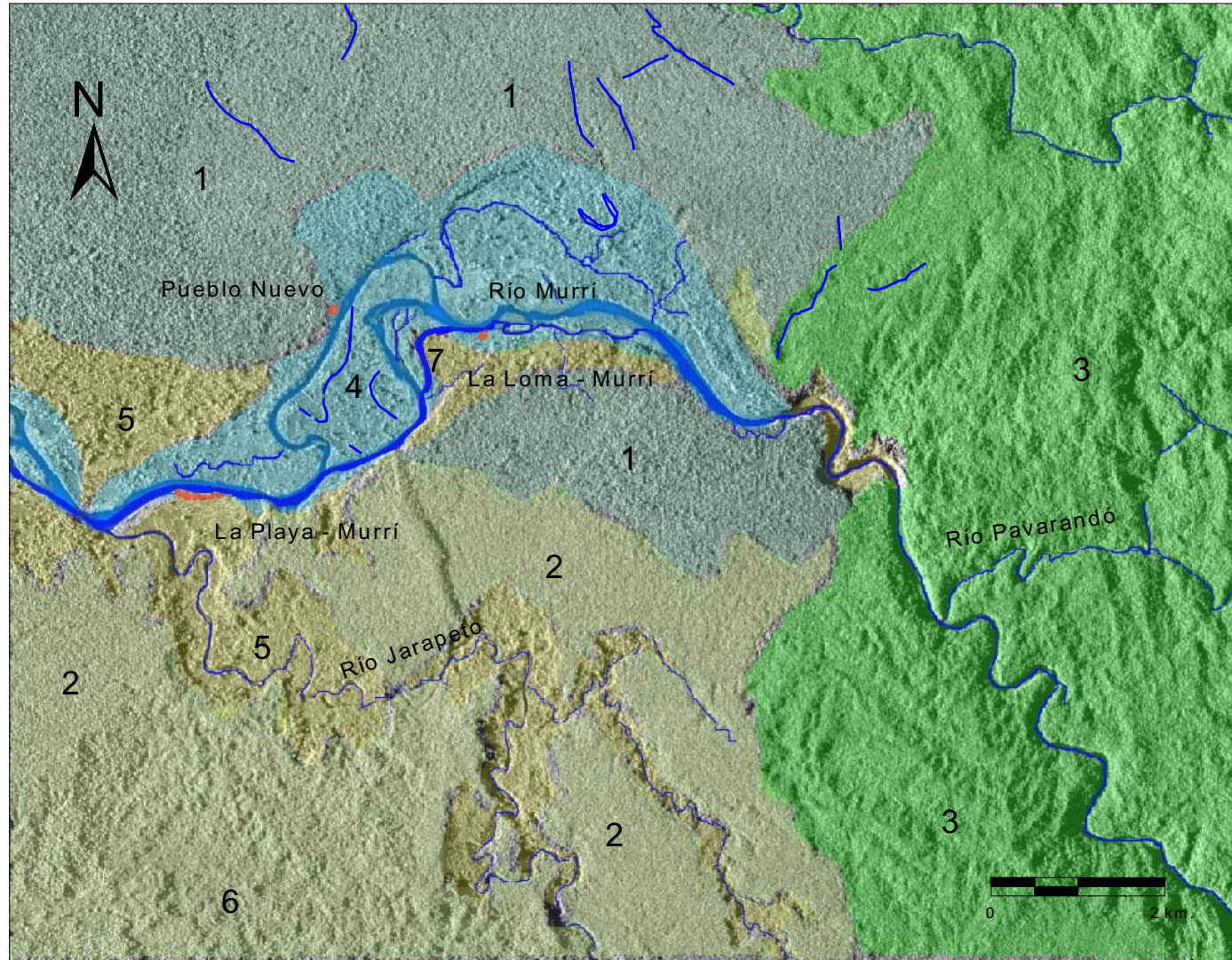
Figura 12.28 Bellavista y Vigía del Fuerte.

Composición e interpretación a partir de imágenes de radar Inera (1992). OSSO para PNUD-DNPAD. Cali, Octubre de 1997.



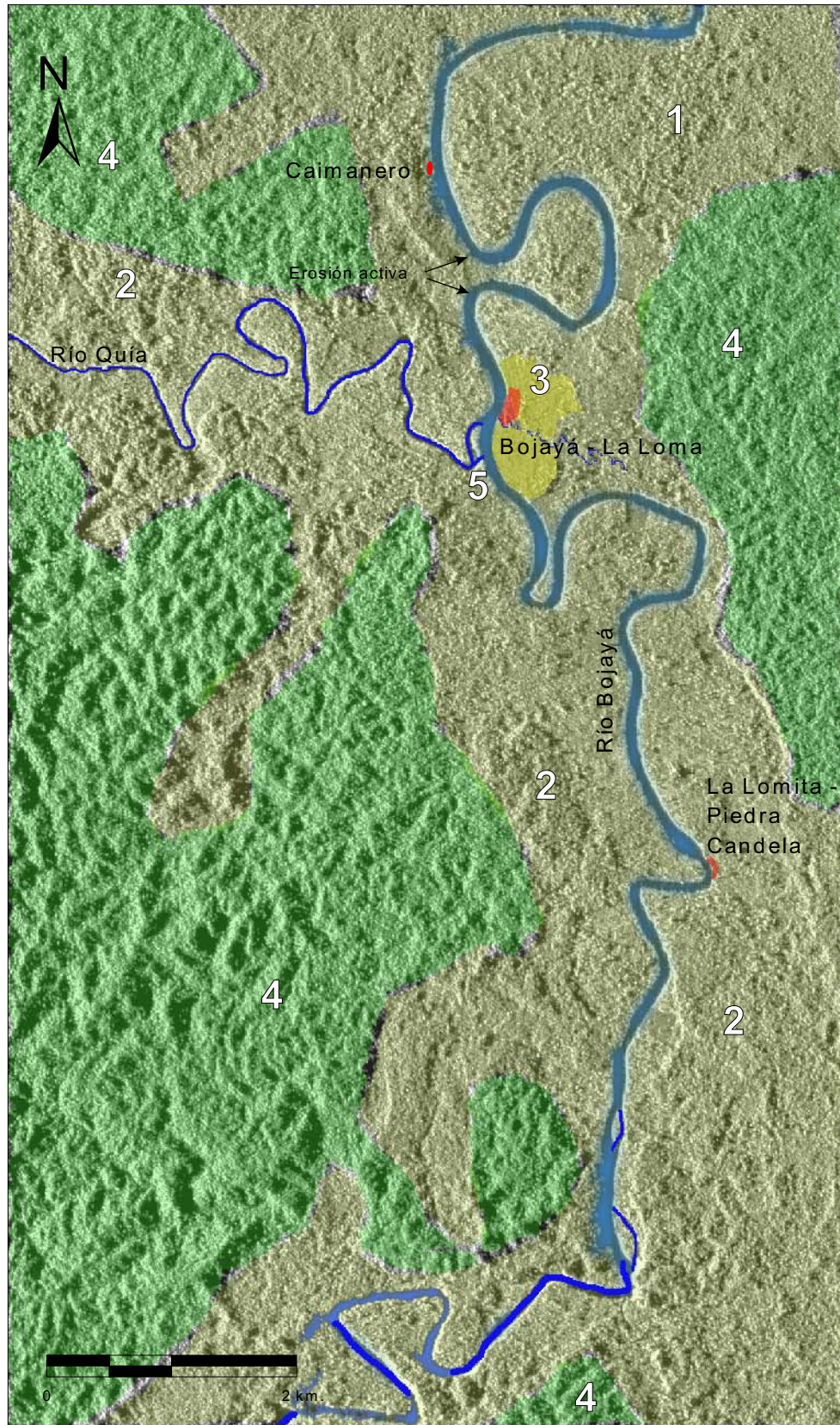
1. Llanura aluvial del Atrato. 2. Diques deforestados. 3. Áreas deforestadas en la periferia de la llanura de inundación del Murri. 4. Bosques poco intervenidos sobre superficies suavemente onduladas en rocas sedimentarias. 5. Igual que el anterior, sobre topografía rugosa de colinas. 6. Llanuras de inundación y de divagación del cauce del río Murri, el cual puede variar por avenidas torrenciales y durante períodos de aguas bajas. 7. Bosques poco intervenidos de las márgenes externas del abanico aluvial del Murri, en transición con la llanura aluvial del Atrato, frecuentemente inundables.

Figura 12.29 Río Murri y Bocas del Murri.



1. Depósito del abanico del río Murri parcialmente intervenidos sobre la margen izquierda. 2. Bosques sobre superficies suavemente inclinadas y onduladas (terrazas?). 3. Bosques sobre rocas de origen ígneo (Batolito de Mandé). 4. Llanura de inundación y de divagación del cauce del río Murri. 5. Bosque intervenido (río Murri) y muy intervenido a lo largo del río Jarapeto. 6. Bosque poco intervenido sobre topografía rugosa de colinas. 7. Actual cauce desde 1995.

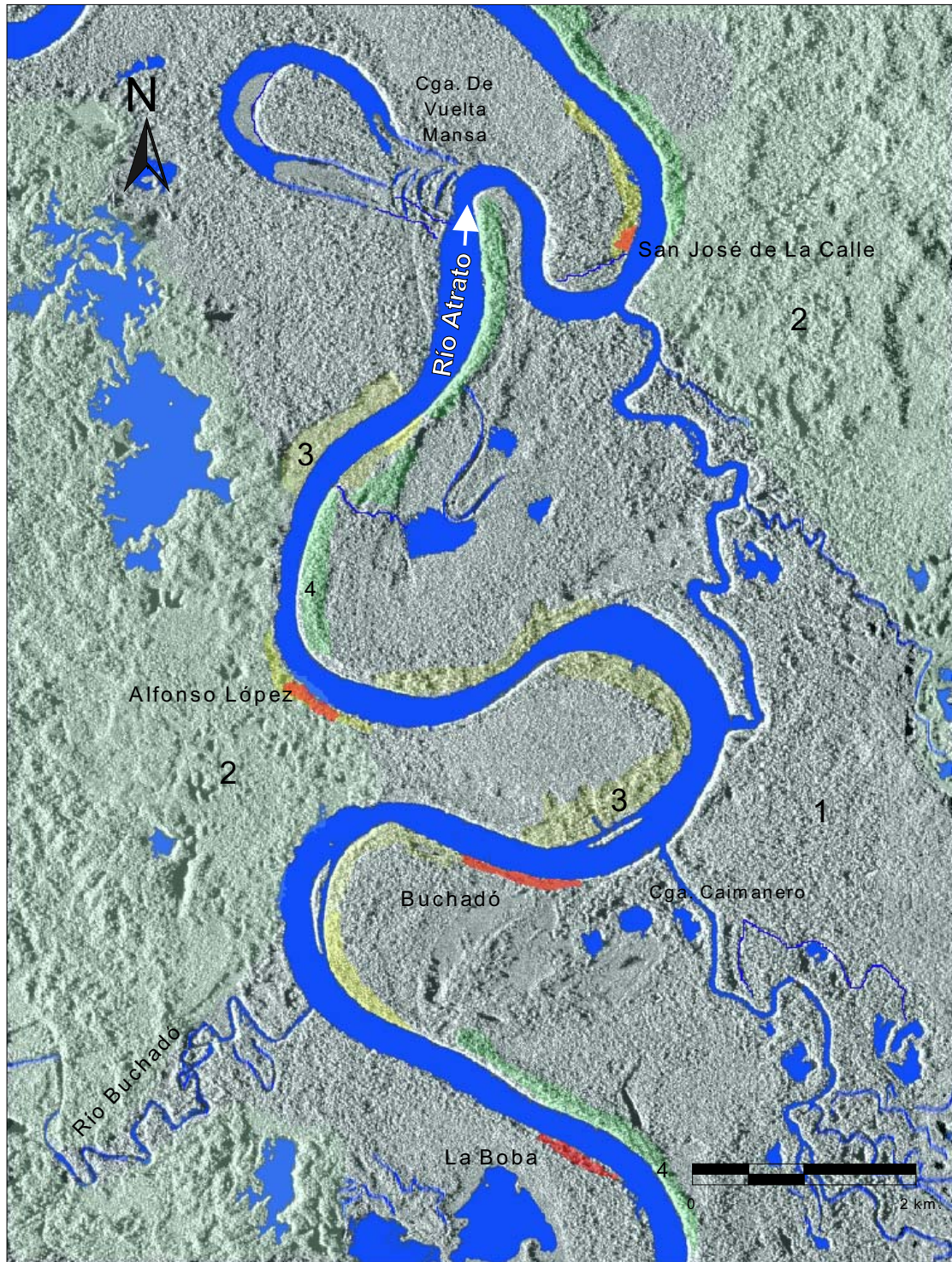
Figura 12.30 Río Murri - La Playa.



Composición e interpretación a partir de imágenes de radar. Intera (1992), OSSO para PNUD-DNPAD. Cali, Octubre de 1997.

1. Llanura aluvial inundable del río Bojayá, con bosque intervenido. 2.Valles de los ríos Bojayá y Quía, sobre colinas bajas de rocas sedimentarias; bosques intervenidos con parches de cultivos. 3. Potreros y cultivos en los alrededores del caserío. 4.Colinas con bosque parcialmente intervenido. 5.Actual desembocadura del río Quía (desde 1995).

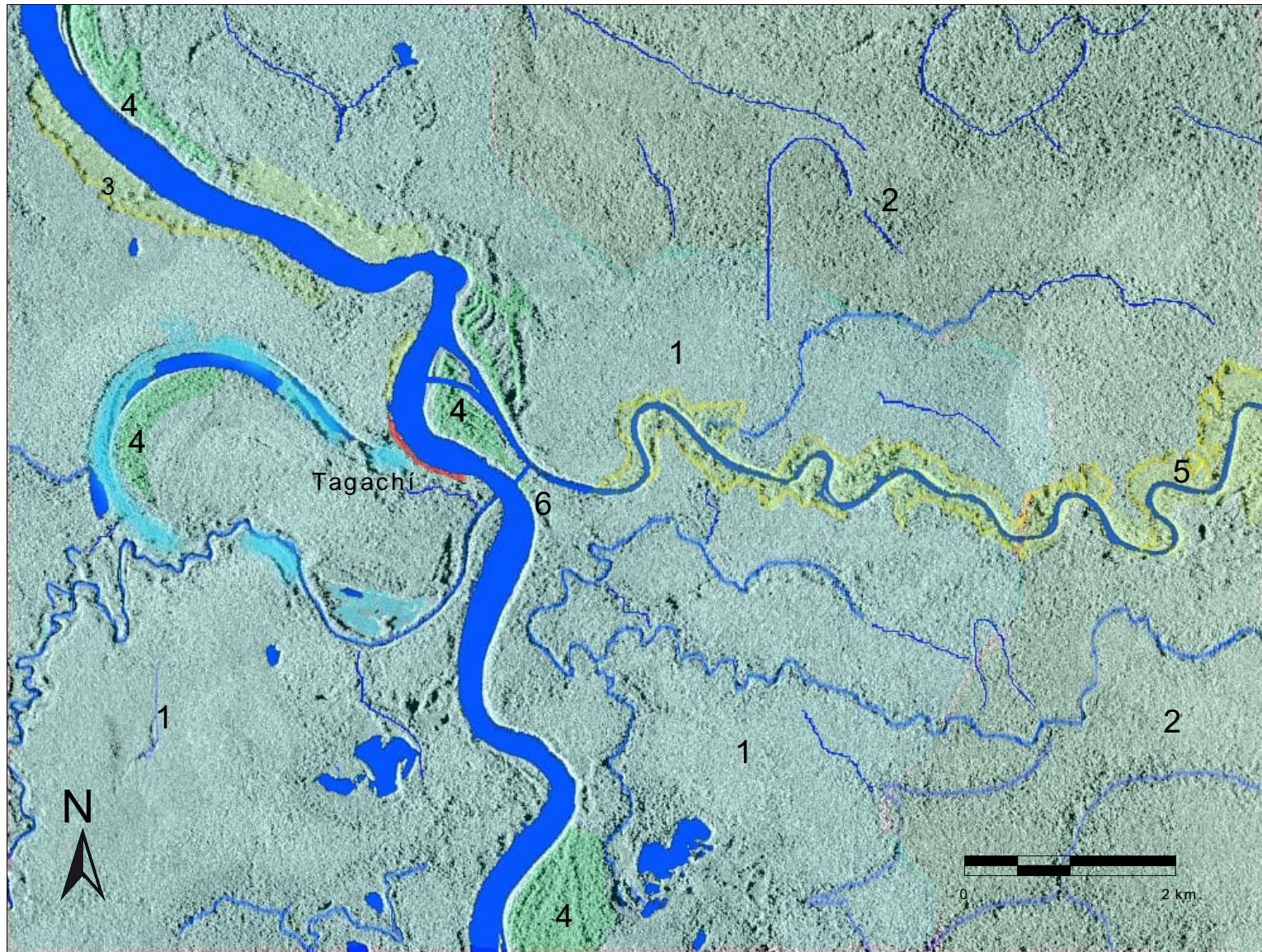
Figura 12.31 Corregimiento Bojayá o La Loma.



Composición e interpretación a partir de imágenes de radar Intera (1992). OSO para PNUD-DNPAD. Cali, Octubre de 1997.

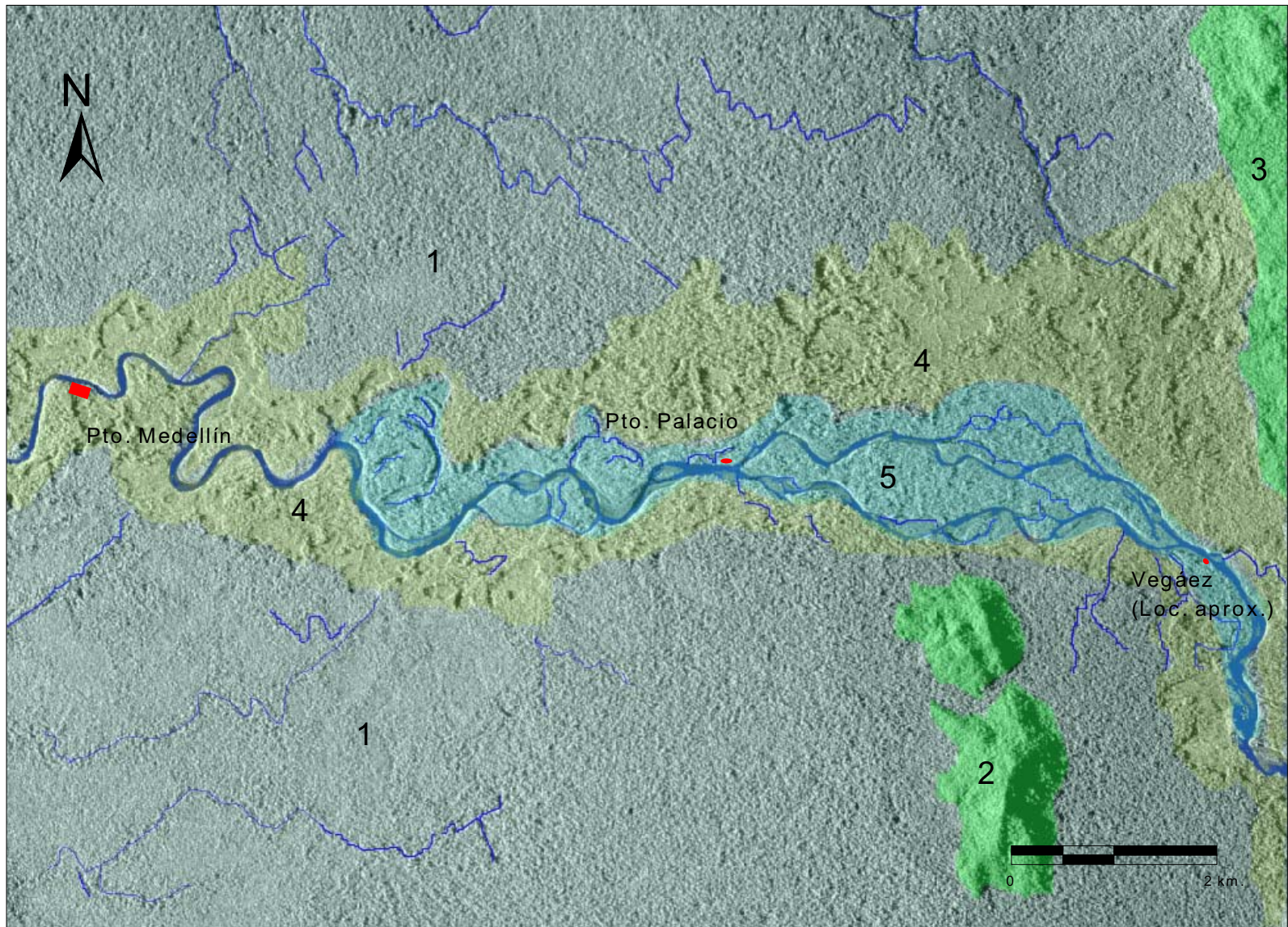
1. Llanura aluvial del Atrato. 2. Áreas inundables en colinas bajas de rocas sedimentarias, con bosques parcialmente intervenidos. 3. Diques del río Atrato, deforestados y con cultivos. 4. Diques vegetados.

Figura 12.32 San José de La Calle - Buchadó - La Boba.



1. Llanura aluvial del Atrato. 2. Transición entre la llanura aluvial del Atrato y depósitos del abanico del Arquía. 3. Diques del Atrato deforestados, con cultivos. 4. Diques inundables vegetados. 5. Riberas del río Arquía, deforestadas. 6. Actual desembocadura del río Arquía desde 1995.

Figura 12.33 Tagachí - Río Arquía



1. Llanura aluvial del Atrato y abanico del río Arquía con bosque (área más rugosa). 2. Bosque sobre colinas de rocas volcánicas. 3. Igual que el anterior, sobre laderas del piedemonte del Batolito de Mandé. 4. Bosque intervenido con áreas de cultivos. 5. Valle aluvial del Arquía, con cauces trenzados de alta variabilidad según crecientes y épocas de aguas bajas.

Figura 12.34 Río Arquía - Vereda Medellín.